



بسم الله الرحمن الرحيم  
جامعة السودان للعلوم والتكنولوجيا  
كلية الدراسات العليا و البحث العلمي  
كلية العلوم - قسم الإحصاء التطبيقي

تطبيق تحليل السلسل الزمنية لبناء نموذج لكمية الكهرباء المولدة  
بخزان سنار

## Application of Time Series of the Quantity of Electricity Generated from Sennar Dam

بحث تكميلي مقدم لنيل درجة الماجستير في الإحصاء التطبيقي

إشراف:

إعداد الدارسه :

د.أحمد محمد عبدالله حمدي

ساره السر حسن محمد

أبريل 2014 م

# الآية

بِسْمِ اللَّهِ الرَّحْمَنِ الرَّحِيمِ

قال تعالى:



صدق الله العظيم

سورة طه (114)

# الإهادء

إلى من جرع الكأس فارغاً ليسقيني قطرة حب  
سعادة إلى من كلّت أنامله ليقدم لنا لحظة  
ليمهد لي طريق العلم إلى من حصد الأشواك عن دربي  
إلى القلب الكبير

## والدي العزيز

إلى من أرضعني الحب والحنان  
إلى رمز الحب وبلسم الشفاء  
إلى القلب الناصع بالبياض

## والدتي الحبيبة

إلى من هي أمي  
إلى من هليقرب ألي من روحي

إلى من سكنت دارها ولم اشعر بالغربة

إلى روح من احتضنتني بعد والدتي عطر الله قبرها باعمالها الصالحة

## حالتي العظيمه

إلى من شاركني حضن ألام وبحم استمد عزتي وإصراري

## اخوتي

الآن تفتح الأشرعة وترفع المرساة لتتطلق السفينة في عرض بحر واسع مظلم هو بحر الحياة وفي هذه  
الظلمة لا يضيء إلا قنديل الذكريات ذكريات الأخوة البعيدة إلى الذين أحبتهم وأحبوني

## وأصدقائي

# الشكر والتقدير

الحمد لله رب العالمين والصلوة والسلام على أشرف خلق الله أجمعين

الشكر أولاً وآخرها الله سبحانه وتعالى الذي وفقني وإعانتي لإنجاز وإتمام هذا البحث ومن ثم  
شكري وتقديري الصريح العلمي الشامخ جامعة السوان للعلوم والتكنولوجيا

في مثل هذه اللحظات يتوقف اليراع ليفكر قبل أن يخط الحروف ليجمعها في كلمات ... تتبعثر  
لأحرف وعبارات أن يحاول تجميعها في سطور  
سطوراً كثيرة تمر في الخيال ولا يبقى لنا في نهاية المطاف إلا قليلاً من الذكريات وصور  
تجمعنا برفاق كانوا إلى جانبنا

فواجب علينا شكرهم ووداعهم ونحن خطوتنا الأولى في غمار الحياة  
ونخص بالجزيل الشكر والتقدير إلى كل من أشعل شمعة في دروب عملنا  
وإلى من وقف على المنابر وأعطى من حصيلة فكره لينير دربنا  
إلى الأساتذة الكرام في قسم الإحصاء التطبيقي وننوجه بالشكر الجزيل إلى

## الدكتور

احمد محمد عبدالله حمدي

الذي تفضل بإشراف على هذا البحث فجزاه الله عنا كل خير فله منا كل التقدير والاحترام ..  
كما أخص بالشكر أيضاً إلى زملائي الاستاذ النذير محمد النور والاستاذ محمد الامين عيسى  
وإلى كل من ساهم معي في إخراج هذا البحث بهذه الصورة .

## **المستخلص**

يعتبر موضوع تحليل السلسلة الزمنية من المواضيع الإحصائية المهمة لتقسيم الظواهر التي تحدث خلال فترة زمنية محددة ويهدف تحليل السلسلة الزمنية إلى الحصول على وصف دقيق للسلسلة وبناء نموذج مناسب لتقسيم سلوكها واستخدام النتائج للتنبؤ بسلوك السلسلة الزمنية في المستقبل .

تضمن البحث هذا إقتراح نموذج إحصائي بإستخدام تحليل السلسلة الزمنية لتوليد خزان سنار للطاقة الكهربائية، عتمد البحث المنهج التحليل الاستنتاجي .

**فروض البحث :**

1. كمية الكهرباء المولدة تتناقص مع الزمن.

2- كمية الكهرباء المولدة من الخزان في الفتره من(1962\_2012) غير مستقره.

ومن أهم الاستنتاجات والتوصيات

1- السلسلة الزمنية لبيانات توليد خزان سنار للطاقة الكهربائية هي سلسلة مستقرة .

2- النموذج المقترن صالح لأن يستخدم من قبل الجهات التخطيطية لمعرفة الإتجاهات المستقبلية لها.

3- النموذج الإحصائي لسلسلة توليد الطاقة الكهربائية هو نموذج الانحدار الذاتي  
.AR (3)

4-أن موضوع البحث بجانبية النظري و التطبيقي يفتح مجالات وآفاق للباحثين وخاصة في  
جوانب إستخدام تحليل السلسلة الزمنية متعددة المتغيرات (multivariate time series )  
(analysis

5- البيانات تزيد مع مرور الزمن.

## **Abstract**

The topic of time series analysis is considered one of the important statistical topics in illustrating the phenomena which occur during a specific period of time. It aims to the obtaining a precise description of the series and constructing a suitable model for interpreting its conduct, and then using the results for forecasting the conduct of the series in the future.

Our research embodied a suggestion of a statistical model by using the time series analysis of the Electricity Generation, and the research approved the deductive analytical method.

Hypotheses:

1. The amount of electricity generated decreases with time.
2. The amount of electricity generated from the Dam in the period (1962\_2012) not stationary.  
most important concluding remarks and recommendations which:
  1. The time series of the research are stationary series.
  2. The models suggested are good for the planning authorities for dominating the Electricity Generation in future.
  3. The statistical model for a series of the Electricity generation is a form Autoregressive Models AR (3).
  4. The topic of the research – by its parts the theoretical and application – is of the interest of the researchers, especially in the sides of using multivariate time series analysis
  5. The data increases with the passage of time.

## الفهرست

رقم الصفحة	الموضوع	الرقم
أ	الآية	1
ب	الإهاداء	2
ج	الشكر والتقدير	3
د	المستخلص	4
هـ	Abstract	5
وـ	الفهرست	6

### الفصل الأول: المقدمة

1	تمهيد	1-1
1	مشكلة البحث	2-1
1	أهمية البحث	3-1
2	أهداف البحث	4-1
2	فرضيات البحث	5-1
2	بيانات البحث	6-1
2	منهجية البحث	7-1
2	حدود البحث	8-1
3	المشكلات التي واجهت البحث	9-1
3	هيكلية البحث	10-1
3	البحوث والدراسات السابقة	11-1

## الفصل الثاني: نبذة عن التوليد الكهربائي

5	الخلفية التاريخية	1-2
5	قطاع الكهرباء	2-2
6	قطاع كهرباء خزان سنار	3-2
7	صناعة الكهرباء	4-2
8	التوليد المائي	5-2
9	رؤيه مستقبلية لمحطة توليد خزان سنار	6-2

## الفصل الثالث: الإطار النظري

10	تمهيد	1-3
10	أنواع السلسلة الزمنية	2-3
10	مكونات السلسلة الزمنية	3-3
13	بعض التعريفات	4-3
16	تحليل السلسلة الزمنية	5-3
18	السكون	6-3
22	نماذج تحليل السلسلة الزمنية	7-3
50	مراحل تحليل السلسلة الزمنية	8-3
50	تشخيص النموذج	1-8-3
54	تقدير النموذج	2-8-3
57	فحص و اختبار و دقة النموذج	3-8-3
58	اختبار المتوسط للباقي	1-3-8-3

58	إختبار عشوائية البوافي	2-3-8-3
59	إختبار الترابط أو استقلال البوافي	3-3-8-3
59	إختبار طبيعة البوافي	4-3-8-3
59	التبؤ	4-8-3

#### الفصل الرابع: الجانب التطبيقي

61	تمهيد	1-4
61	وصف البيانات	2-4
62	رسم السلسله الزمنيه	3-4
62	إختبار السكون	4-4
66	إختبار فحص توفيق النموذج	5-4
67	فحص واختبار دقة النموذج	6-4
67	إختبار متوسط البوافي	1-6-4
68	إختبار عشوائية البوافي	2-6-4
69	الارتباط الزاتي للبوافي	3-6-4
71	إختبار طبيعة البوافي	4-6-4
72	التبؤ للطاقة الكهربائيه المنتجه	7-4

#### الفصل الخامس: النتائج و التوصيات

74	النتائج	1-5
75	التوصيات	2-5

#### المراجع

#### الملاحق

## فهرست الاشكال

رقم الصفحة	الموضوع
62	الشكل رقم (1-4) يوضح رسم الاتجاه العام لمتغير الدراسة
63	شكل رقم (2-4) رسم يوضح معاملات الارتباطات الذاتية
64	شكل رقم (3-4) رسم يوضح معاملات الارتباطات الذاتية الجزئية
67	شكل رقم (4-4) يوضح المقارنة بين القيم الحقيقية والقيم المقدرة
69	شكل رقم (5-4) الا ACF للبواقي
70	شكل رقم(6-4) الا PACF للبواقي
71	شكل رقم(7-4) يوضح الاحتمال الطبيعي للبواقي
73	الشكل رقم (8-4) يوضح التنبؤات المستقبلية للطاقة الكهربائية

## فهرست الجداول

رقم الصفحة	الموضوع
61	جدول رقم (1-4) يوضح وصف الطاقة الكهربائية
65	جدول رقم (2-4) يوضح معلمات النموذج
66	جدول رقم (3-4) يوضح كفاءة النموذج
72	جدول رقم (4-4) يوضح التنبؤات المستقبلية للطاقة الكهربائية

## **الفصل الأول**

### **المقدمة**

#### **1.1 تمهيد:**

يعتبر موضوع تحليل السلسلة الزمنية من المواضيع الإحصائية المهمة في تحليل الكثير من الظواهر، السلسلة الزمنية عبارة عن مجموعة من المشاهدات أخذت على فترات زمنية نتيجة تعقب هذه الظاهرة لفترة زمنية طويلة نسبياً وفي أغلب الأحيان تكون هذه الفترة الزمنية منتظمة .

وتتلخص أهم أهداف تحليل السلسلة الزمنية في الحصول على وصف دقيق للسلسلة الزمنية وبناء نموذج مناسب لتفسير سلوك السلسلة الزمنية واستخدام النتائج للتنبؤ بسلوك السلسلة الزمنية في المستقبل. نظراً لما شهده السودان من نمو سكاني ملحوظ وتزايد في طلبات الطاقة الكهربائية كونها المصدر الأساسي للتنمية ودورها في التأثيرات على التطور و التقدم الحضاري في الدولذلك كان لزاماً علينا القيام بإعداد دراسات وتطبيقات إحصائية على الطاقة الكهربائية المنتجة بواسطة خزان سنار بإستخدام السلسلة الزمنية ، ليتمكن الجهات المختصة من وضع خططها المستقبلية.

#### **2.1 مشكلة البحث:**

تتمثل مشكلة البحث في عدم وجود اسلوب علمي قائم علي استخدام النماذج الرياضيه والاحصائيه في التنبؤ بكمية الكهرباء المولده من خزان سنار في ظل التزايد المستمر علي طلب الطاقة الكهربائيه.

#### **3.1 أهمية البحث:**

تبغ اهمية هذا البحث في توفيق افضل نموذج للتنبؤ بكمية الكهرباء المنتجه ومن خلال هذا النموذج يمكن التخطيط المستقبلي في الخزان والربط بين المتغيرات المختلفه بطريقه علميه مختبره احصائي.

#### **4.1 أهداف البحث:**

يهدف البحث الى ايجاد نموذج احصائي يوضح الطاقه الكهربائيه المنتجه من خزان سنار باستخدام تحليل السلسل الزمنيه ليمكن الجهات القائمه على هذه الظاهره من معرفة الاتجاهات المستقبلية ووضع الخطط اللازمه لها.

#### **5.1 فروض البحث:**

1. كمية الكهرباء المولده تتناقص مع الزمن.
- 2- كمية الكهرباء المولده من الخزان في الفتره من(1962\_2012) غير مستقره.
- 3- افضل نموذج للتنبؤ بكمية الكهرباء المولده من الخزان هو احد نماذج ARIMA

#### **5.1 بيانات البحث:**

تم جمع البيانات والمعلومات من محطة توليد كهرباء خزان سنار وهي تمثل كمية الكهرباء المولده من الخزان خلال الفتره من 1962 حتى 2012.

#### **7.1 منهجية البحث:**

يستخدم البحث منهج التحليل الوصفي والاستنتاجي باستخدام الحزم الاحصائي SPSS& MINITAB في وصف وبناء (تقدير)نموذج احصائي ملائم معتمدا على النظريه الاحصائيه.

#### **8.1 حدود البحث:**

- الحدود المكانيه:خزان سنار يقع علي النيل الازرق علي بعد حوالي 300 كلم جنوب العاصمه الخرطوم

- الحدود الزمنية: بيانات الدراسة هي بيانات سنوية متتالية من 1962 حتى 2012 .

### **9.1 المشكلات التي واجهت البحث:**

1. صعوبة الحصول على البيانات حتى من منطقه الخزان واعتبار ان البيانات هي بيانات سرية.
- 2- قلة المراجع الخاصه بتحليل السلسل الزمنيه.
- 3- فقر مكتبة الخزان من البحوث العلميه وصعوبة ايجاد بحوث عن الخزانات بصورة عامه.

### **10.1 هيكلية البحث:**

يضم البحث خمسة فصول ، الفصل الأول يضم المقدمة و المشكلة و الهدف و الفروض و الأهمية و حدود البحث والمنهجية و بعض الدراسات و البحوث السابقة، ويضم الفصل الثاني لمحة تاريخية عن الكهرباء وصناعة في السودان الى جانب توليد خزان سنار ومحطاته وخصص الفصل الثالث للإطار النظري للسلسل الزمنية و مراحل تحليله ، ونماذج تحليل السلسل الزمنية ، ويضم الفصل الرابع الجانب العملي(التطبيقي) ، و خصص الفصل الخامس لأهم الإستنتاجات والتوصيات.

### **11.1 البحوث و الدراسات السابقة:**

1. في فبراير 2005 قدم ادم احمد ادم بحث بعنوان منسوب النيل عند محطة الخرطوم في الفترة 1992\_2004 لنيل درجة الماجستير في الاحصاء ،واهم م توصل اليه الباحث ان النموذج الملائم AR(2) ،كما استنتج ان السودان يستغل حصته الكامله المياه البالغه 18.5 مليار متر مكعب وكذلك لم يستغل الاراضي الزراعيه البالغه مساحتها 12 مليون فدان.

2. في العام 2006م أعد الطالب أكرم عبد الدائم محمد بحث لنيل درجة الماجستير في الإحصاء التطبيقي من جامعة السودان للعلوم والتكنولوجيا عن الإصابة بمرض السرطان. وقد هدف البحث إلى دراسة مرض السرطان في السودان خلال الفترة من يناير 2002م إلى ديسمبر 2004م ، وقد بلغت الإصابات في هذه الفترة 10088 حالة ، وقد توصل البحث إلى أن النموذج المناسب لتقدير عدد الإصابات بالسرطان في السودان هو نموذج المتوسطات المتحركة من المرتبة الأولى (1)  $MA$ .

3. في العام 2006م أعد الطالب Albert KuanyJok بحث لنيل درجة الماجستير في الإحصاء التطبيقي من جامعة السودان للعلوم والتكنولوجيا عن الأمطار في ولاية القضارف. وقد هدف البحث إلى إيجاد نموذج مناسب لتقدير كمية الأمطار الشهرية في ولاية القضارف و قد توصل البحث إلى إن النموذج المناسب لتقدير كمية الأمطار الشهرية في ولاية القضارف هو النموذج الموسمى المضاعف

4. في ديسمبر 2007 قدمت ايناس احمد حسن دراسه بعنوان النمذجه الاحصائيه لعمل الخزانات المائيه (حالة خزان جبل اولياء) لنيل درجه الماجستير ، ومن اهم ما توصلت اليه انه اعتمادا علي قيمتي AIC&MAP تبين انه افضل نموذج يعبر عن بيانات الدراسه هو نموذج ARIMA(4,2,0) وان كمية المياه الداخله للخزان والخارج منه تتأثر بعامل الزمن المتمثل بالأشهر ولا تتأثر بعامل الزمن المتمثل بالسنوات بينما كمية الكهرباء المولده من الخزان تتأثر بالسنوات ولا تتأثر بالأشهر.

5. في 2013 قدم ضياء الدين عبد الله بحث بعنوان استخدام نماذج بوكس\_جنكز للسلسل الزمنيه بالتطبيق على بيانات الطاقة الكهربائيه في الفتره 1965\_2010 . واهم ما توصل اليه الباحث ان افضل نموذج يلائم البيانات هو AR(4) وقد اتضح له في اختيار الباقي لافضل نموذج ان البيانات غير طبيعية مما دعى الي اخذ اللوغريثم للبيانات الاصليه

## **الفصل الثاني**

### **نبذة عن التوليد الكهربائي**

#### **1.2 الخلفية التاريخية:**

تبعد أهمية الطاقة من كونها المصدر الرئيسي للتنمية سواء كانت صناعية أو زراعية أو خلافه وأنها تلعب دوراً مهماً لنمو كل القطاعات لاشك أن للطاقة الكهربائية الدور الكبير في تحريك عجلة الاقتصاد خاصةً إقتصاديات الدول النامية التي لا تتوفر فيها مصادر أخرى للطاقة، أن أثر الطاقة الكهربائية على الاقتصاد يبدو واضحاً للعيان، فهي المحرك الرئيسي للتطور الصناعي و الزراعي هذا إلى جانب أهميتها في ترقية الحياة اليومية للإنسان من ضروريات وكماليات ولجميع هذه الأسباب مجتمعة كان التركيز على الطاقة الكهربائية التي لها القدح المعلى في دعم الاقتصاد وتوظيف الموارد البشرية بشكل جيد هذا بالإضافة لدورها الخفي في المحافظة على البيئة وذلك بإلاستغناء عن موارد الطاقة الأخرى الغير نظيفة مما يقلل من تكلفة نظافة المدن ونظافة ذرات الهواء مما ينعكس ذلك إيجاباً على صحة الإنسان.

ويقاس تقدم الشعوب بمقدار المنتج من الطاقة ومدى الإستفادة منها وقد بلغ متوسط الإستهلاك السنوي للطاقة في السودان للفرد حوالي 120 كيلواط ساعة للعام 2005 بينما يصل في الدول المتوسطة 1000 كيلواط ساعة كما أنه يصل في الدول الصناعية المتقدمة إلى 15000 كيلواط ساعة.

#### **2.2 قطاع الكهرباء :**

هو القطاع المعنى بتوليد ونقل وتوزيع الطاقة الكهربائية لكل السودان وبيعها إلى أنماط الإستهلاك المختلفة من سكني / زراعي / صناعي / تجاري وخلافه وتضطلع الهيئة القومية للكهرباء بهذه المهام في السودان.

## 3.2 قطاع كهرباء خزان سنار:

خزان سنار سد حجري يقع على النيل الازرق على بعد حوالي 300 كم جنوب العاصمه الخرطوم يبلغ طول السد من الضفة الشرقية إلى الضفة الغربية 3025 متر (9925 قدم) وأقصى ارتفاع له 40 متر (130 قدم)، وهو مبني في الطرفين الشرقي والغربي بالطين ولكنه مشيد في الوسط بالجرانيت حيث توجد فتحات ابواب تمرير المياه وكان يعرف باسم خزان مكوار وذلك نسبة لاحدي العائلات التي تسكن في تلك المنطقه في ذلك الوقت كما يقال، هذا وقد اطلق عليه اسم سنار رسميا عند افتتاحه في العام 1926 نسبة لمدينة سنار.

كانت فكرة إنشائه منذ العام 1902 حيث تم عمل دراسات له في العام 1914 وبدأ التحضير لتنفيذها في نفس العام. قام بتشييد الجزء الاول من الخزان الشركه السودانيه للتشييد بالمشاركه مع

Messrs Alessandrini&Perssn شركة

وأكملت شركة Messrs S.Perssn&Son ltd العمل به حيث انتهي تشييده في العام 1925م. تبلغ سعة بحيرته حوالي 930 مليون متر مكعب من المياه تستغل في الري وفي انتاج الكهرباء .

كان خزان سنار منذ افتتاحه يستخدم في الري فقط حتى بدايه تاريخ انشاء محطة التوليد الكهربائي في اكتوبر 1959م وافتتحت رسميا في نوفمبر 1962م، تحتوي المحطة علي عدد اثنين توربينه من نوع كابلن قوة الواحدة 10,600 حصان تحرك كل توربينه مولد بطاقة 9,400 كيلو فولت أمبير مايعادل MH7.5 بسرعة ثابتة مدارها 136.4 لفه في الدقيقه ويتحكم الحاكم في تحديد السرعه بواسطة نظام الهيدروليكي عن طريق ضغط الزيت. يبلغ اقصي فرق في المنسوب 17 متر وادني فرق في تشغيل التوربينه 5.8 متر . كما يبلغ اقصي تصريف لكل توربينه 91.4 متر مكعب في الثانيه يوجد بالمحطة مولد ديزل بطاقة 145 كيلو فولت امير

لظروف الطوارئ . تعمل المحطة بنظام الورديات وعلى رأس كل ورديه مهندس وملاحظ وخمسه عمال . يوجد قسم للصيانة الميكانيكيه والكهربائيه وعلى رأس كل منها كبير مهندسين وملاحظين .

لا زالت المحطة تعمل بكفاءة عاليه حتى الان حيث تنتج 96.6 % من طاقتها القصوي . توجد انواع مختلفه من التوربينات المائيه ويتم اختيار نوع التوربينه حسب مقدار فرق المنسوب حيث ان :

1- نوع توربينه كابلن يعمل في فرق منسوب اقل من 40 متر .

2- نوع توربينه فرانسيس ما بين 40 الي 600 متر .

3- نوع بلتون يعمل في فرق منسوب اكثرب من 600 متر .

#### 4.2 صناعة الكهرباء:

الطاقة هي القدرة على انجاز عمل ما، وقد بدأ الانسان في انجاز احتياجاته الماديّة اليوميّة بالاعتماد على الطاقة البشريّة والحيوانيّة، ففي قطع الاشجار يعتمد على طاقته العضليّة . وخلال تطوره انتقل الانسان الى استخدام مصادر اخري للطاقة من حطب وفحم نباتي وحجري ثم بترويل وغاز طبيعي . واستغلال مصادر المياه كالخزانات والشلالات وتوليد الطاقة الكهربائيه واصبحت الطاقة عصب الحياة في مختلف المجالات من زراعه وصناعه ونقل وخدمات منزليه لراحة الانسان .

ويمكن حصر انواع الطاقة في الطاقة الكهربائيه والحراريه والصوتية والكيميائيه وميكانيكيه وذريه وشمسيه ويمكن بالوسائل الهندسيه من نوع آخر .

وتعتبر الطاقة الكهربائيه من اكثرب مصادر الطاقة سهولة في النقل من محطات التوليد الى مراكز الاستهلاك وهي بمثابة مقياس ومقدم لتقدير الامم وذلك وفقا لاستهلاك الفرد للكهرباء كما انها

العمود الفقري للنمو والتطور والتقدم الاقتصادي والاجتماعي .ويعزى ذلك لاعتماده على استخدام الطاقة الكامنة للفحم الحجري،لغاز الطبيعي والبترول واليورانيوم والمياه وتحويلها الى طاقه كهربائيه للاستعمال في الخدمات المنزليه والمصانع والمزارع لانها مريحة وفعالة واقتصاديه وسهله في حين ان الدول الناميه (دول العالم الثالث)تعتمد علي الطاقه التقليديه مما ادي الي ضعف نموها الاقتصادي.

## 5.2 التوليد المائي:

الفكرة الأساسية للتوليد المائي هي الإستفادة من الطاقة المائية التي توجد في الأماكن المرتفعة وتهبط بالمساقط فيتم تحويل هذه الطاقة المائية إلى طاقة ميكانيكية تتكون من ريش تعترض جري الماء حيث تدار لتوليد الطاقة الكهربائية من المولدات المائية .

يتميز التوليد المائي بعدة ميزات عند مقارنته بالتوليد الغازي أو الحراري وهي:-

1. لا يحتاج إلى وقود في عملية التشغيل لذلك من أجود أنواع التوليد

2. غير مضر بالبيئة وذلك لأنه لاينتج مخلفات ضارة بالبيئة كالغازات والسوائل السامة

3. لا يحتاج إلى زمن طويل عند التشغيل لذلك لسهولة إدخال وإشراك ماكينات في النظام

في زمن وجيز .

4. يعطي أعلى درجات السلامة للعاملين (عدم التعرض لحرق وغازات سامة )

وكذلك للتوليد المائي عدة عيوب منها:-

أ- اختلاف كمية الطاقة المتولدة من وقت لآخر

ب-ارتفاع التكاليف الأولية لبناء المحطة.

ت- صعوبة إجراء الصيانة

عند تصميم محطات التوليد المائية لابد للمهندس المصمم أن يراعي ارتفاع السد وذلك حسب  
مل يراه مناسب نتيجة للدراسات التي يجريها علي النهر وذلك بدراسة جريان المياه وقياس تدفق  
النهر لعدد من السنين وكذلك معرفة إنتاج الطاقة الكهربائية المراد إنتاجها من هذه المحطة  
وذلك معرفة سنين الجفاف والفيضان وكل ذلك بطريقة دقة وبأهمية عالية وباعتبار عند  
**التصميم**

## 6.2 رؤيه مستقبلية لمحطة توليد سنار:

تجري الان دراسة لتأهيل ورفع طاقة ماقنات توليد محطة سنار و إنشاء أبواب إضافية شرق  
الخزان تساعده على مرور المياه في فترة الفيضان بواسطة الخبير الالماني لامير وتحت اشراف  
الشركة السودانية للتوليد المائي وسوف تكتمل الدراسة في النصف الثاني لهذا العام .ومن ثم  
تبداء إجراءات تنفيذ المشروع .

### **الفصل الثالث الإطار النظري**

#### **1-3 تمهيد:**

السلسلة الزمنية هي عبارة عن مجموعة من القياسات المأخوذة عن متغير مرتبة وفقاً لزمن حدوثها وتعتبر السلسلة الزمنية الخاصة بالمؤثرات الاقتصادية مثل الدخل القومي البطالة، الإنتاج الصناعي وغيرها من السلسلة الزمنية المهمة وكذلك الحال بالنسبة للمبيعات السنوية للشركات التجارية والصناعية خلال فترة زمنية معينة هي عبارة عن سلسلة زمنية مهمة كذلك. وذلك لا يعني أن السلسلة الزمنية مقتصرة على المجالات الاقتصادية والتجارية بل تمتد أيضاً لمجالات أخرى مثل قياس كمية الأمطار في منطقة معينة، عدد الطلبة في مؤسسة تعليمية ما، حجم السكان في منطقة ما.

#### **2-3 انواع السلسلة الزمنية:**

وتكون السلسلة الزمنية على نوعين متصلة Discrete ومنفصلة Continues بحسب الزمن. ويمكن أن تكون مستقرة Stationary إذا كانت الخصائص الإحتمالية لا تتأثر بالزمن أو غير مستقرة Non stationary إذا كانت الخصائص الإحتمالية تتأثر بالزمن، ونموذج السلسلة الزمنية هو الدالة التي تربط قيم السلسلة الزمنية بالقيم السابقة لها وأخطائها.

#### **3-3 مكونات السلسلة الزمنية:**

تتكون السلسلة الزمنية عادة من أربعة عناصر والتي يطلق عليها عادة بمكونات أو مركبات السلسلة الزمنية وهي:

1- الاتجاه العام Secular Trend

2- التغيرات الدورية Cyclical Variations

3- التغيرات الموسمية Seasonal Variations

4- التغيرات الفرضية أو الغير منتظمة Irregular Variations

### 3-3-1 الاتجاه العام:

وهو العنصر الذي يقصد به الحركة المنتظمة للسلسلة عبر فترة زمنية طويلة نسبياً . ويعتبر في العادة أهم عناصر السلسلة الزمنية غالباً ما يعتبر كعنصر وحيد في بناء التوقعات، ويقال أن الاتجاه العام للسلسلة الزمنية موجباً إذا كان الاتجاه نحو التزايد بمرور الزمن كما هو الحال مع عدد السكان في أغلب دول العالم. ويقال أن الاتجاه العام للسلسلة سالباً إذا اتجهت القيم نحو التناقص بمرور الزمن كما هو الحال لنسبة الأميين إلى مجموع السكان في العديد من دول العالم.

### 3-3-2 التغيرات الدورية:

وهي التغيرات التي تطرأ على قيم السلسلة الزمنية بصورة منتظمة أو غير منتظمة ويزيد أمدها على السنة والتغيرات الدورية تقيس فترة أو دورة التغير للمعطيات وبصورة عامة يتضمن هذا العنصر عدة مراحل هي:

مرحلة الارتفاع الأولى، ومرحلة التراجع، ثم مرحلة الانتعاش المحدود (الركود) وأخيراً مرحلة الارتفاع النهائي وهذه المراحل الأربع تمثل دورة كاملة. ومن الأمثلة على ذلك الدورات

الاقتصادية التي تمر بها بعض الدول حيث يمر الاقتصاد فيها بمرحلة النمو السريع تعقبها مرحلة من التراجع الاقتصادي ثم مرحلة ركود ثم استعادة النشاط الاقتصادي ذات النمو.

### **3-3-3 التغيرات الموسمية:**

وهي التغيرات التي تحدث بصيغة دورية في فترات زمنية لا يزيد طولها عن السنة، فقد تكون أسبوعية أو شهرية أو فصلية، أي أنها التغيرات المتشابهة التي تظهر في الأسابيع أو الشهور أو الفصول المتاظرة خلال الفترات الزمنية المختلفة. ومن الأمثلة على ذلك مبيعات الملابس في فترة الأعياد، استهلاك الكهرباء، مبيعات بطاقات النهاي في المناسبات والأعياد.

### **3-3-4 التغيرات العرضية**

وتشير إلى ما تبقى من التغيرات التي لم تدخل في العناصر السابق ذكرها وترجع إلى التغيرات العرضية إلى عوامل لا يمكن التحكم فيها أو تلك التي تقع بصورة غير متوقعة مثل الزلزال والحروب والأحداث السياسية وغيرها.

لذا يعتبر هذا العنصر عشوائي وقد تسمى هذه التغيرات بالتغييرات العشوائية، إلا أن تأثيرها يكون مؤقتاً يزول بزوال الأسباب المؤدية إليه.

## ما فائدة معرفة هذه المركبات؟

إن التعرف على هذه المركبات وتقديرها أحد أهداف دراسة السلسل الزمنية، وذلك لأن معرفة الاتجاه العام مثلاً يساعدنا في التخطيط طويل الأجل، وتتبؤ ما قد يحدث في المستقبل، أما معرفة التغيرات الموسمية أو الدورية فإنه يفيدنا في التخطيط قصير الأجل.

### 4-3 بعض التعريفات :

**تعريف 3-4-1:** يقال إن السلسلة الزمنية المشاهدة  $\{z_1, z_2, \dots, z_{n-1}, z_n\}$  مستقرة Stationary

إذا حفظت الشروط التالية:

$$1 - E(z_t) = \text{constant} = \mu, \quad \forall t$$

$$2 - \text{cov}(z_t, z_s) = \begin{cases} \text{constant} = \gamma_0, \forall t, \forall s, t = s \\ f(|s - t|), \forall t, \forall s, t \neq s \end{cases}$$

**تعريف 3-4-2:** التشويش الأبيض White Noise هو عبارة عن متتابعة من

المشاهدات العشوائية غير المرتبطة (وأحياناً نفترض إنها متتابعة من المتغيرات العشوائية التي

تكون مستقلة ولها توزيعات متطابقة (Independent, Identically Distributed (IID))

بمتوسط صفر وتبالين ثابت  $\sigma^2$  و غالباً ما يكون لها الخصائص الآتية:

$$1 - E(a_t) = 0, \forall t$$

$$2 - \text{cov}(a_t, a_s) = \begin{cases} \sigma^2, & \forall t, \forall s, t = s \\ 0, & \forall t, \forall s, t \neq s \end{cases}$$

$$3 - a_t \sim N(0, \sigma^2)$$

$$4 - E(a_t, a_s) = 0, \quad \forall t, \forall s, t \neq s$$

$$5 - E(z_s, a_t) = 0, \quad \forall t, \forall s, t \neq s$$

**تعريف 3-4-3:** دالة التغاير الذاتي Auto covariance Function وتعرف كالتالي:

$$\begin{aligned}\gamma_{t,s} &= \text{cov}(z_t, z_s), \forall t, \forall s \\ &= E[(z_t - \mu)(z_s - \mu)], \forall t, \forall s \dots \dots \dots (1-3)\end{aligned}$$

واذا عرفنا الإزاحة  $k$  على إنها الفترة الزمنية التي تفصل بين  $z_t$  وبين  $z_{t-k}$  أو  $Z_{t-k}$  فإن دالة التغاير الذاتي تعطى بالعلاقة:

$$\begin{aligned}\gamma_k &= \text{cov}(z_t, z_{t-k}), k = 0, \pm 1, \pm 2, \dots \\ &= E[(z_t - \mu)(z_{t-k} - \mu)], k = 0, \pm 1, \pm 2, \dots \dots \dots (2-3)\end{aligned}$$

**تعريف 3-4-4:** دالة الإرتباط الذاتي (ACF) Autocorrelation Function

وتعرف كالتالي:

$$\rho_k = \frac{\gamma_k}{\gamma_0}, k = 0, \pm 1, \pm 2, \dots \dots \dots (3-3)$$

ولها الخواص التالية:

1.  $\rho_0 = 1$
2.  $\rho_{-k} = \rho_k$
3.  $0 \leq |\rho_k| \leq 1$

دالة التغاير الذاتي للتشويش الأبيض هي:

$$\gamma_k = \text{cov}(a_t, a_{t-k}) = \sigma^2, k = 0, \dots \dots \dots (4-3)$$

And

$$\rho_k = \frac{\gamma_k}{\gamma_0} \{ \sigma^2, k = 0, \dots, \dots, (5 - 3)$$

**تعريف 3-4-3:** دالة الإرتباط الذاتي الجزئي Partial Autocorrelation Function

(PACF)

وتعطي مقدار الإرتباط بين  $z_t$  و  $Z_{t-k}$  بعد إزالة تأثير الإرتباط الناتج من المتغيرات

الواقعة بينهما ويرمز لها عند الإزاحة  $\phi_{kk}$  بالرمز  $Z_{t-1}, Z_{t-2}, \dots, Z_{t-k+1}$

تقوم على حساب معامل الإنحدار الذاتي  $\phi_{kk}$ :

$$z_t = \phi_{k1} z_{t-1} + \phi_{k2} z_{t-2} + \dots + \phi_{kk} z_{t-k} + a_t \dots \dots \dots (6 - 3)$$

$$z_{t-k} = \phi_1 z_{t-1} + a_t$$

حساب  $\phi_{11}$ :

بضرب طرفي العلاقة بـ  $Z_{t-1}$  وأخذ التوقع نجد

$$E(Z_{t-1} Z_t) = \phi_{11} E(Z_{t-1} Z_{t-1}) + E(Z_{t-1} a_t)$$

أي

$$\gamma_1 = \phi_{11} \gamma_0 \dots \dots \dots \dots \dots (7 - 3)$$

بالقسمة على  $\gamma_0$  نجد

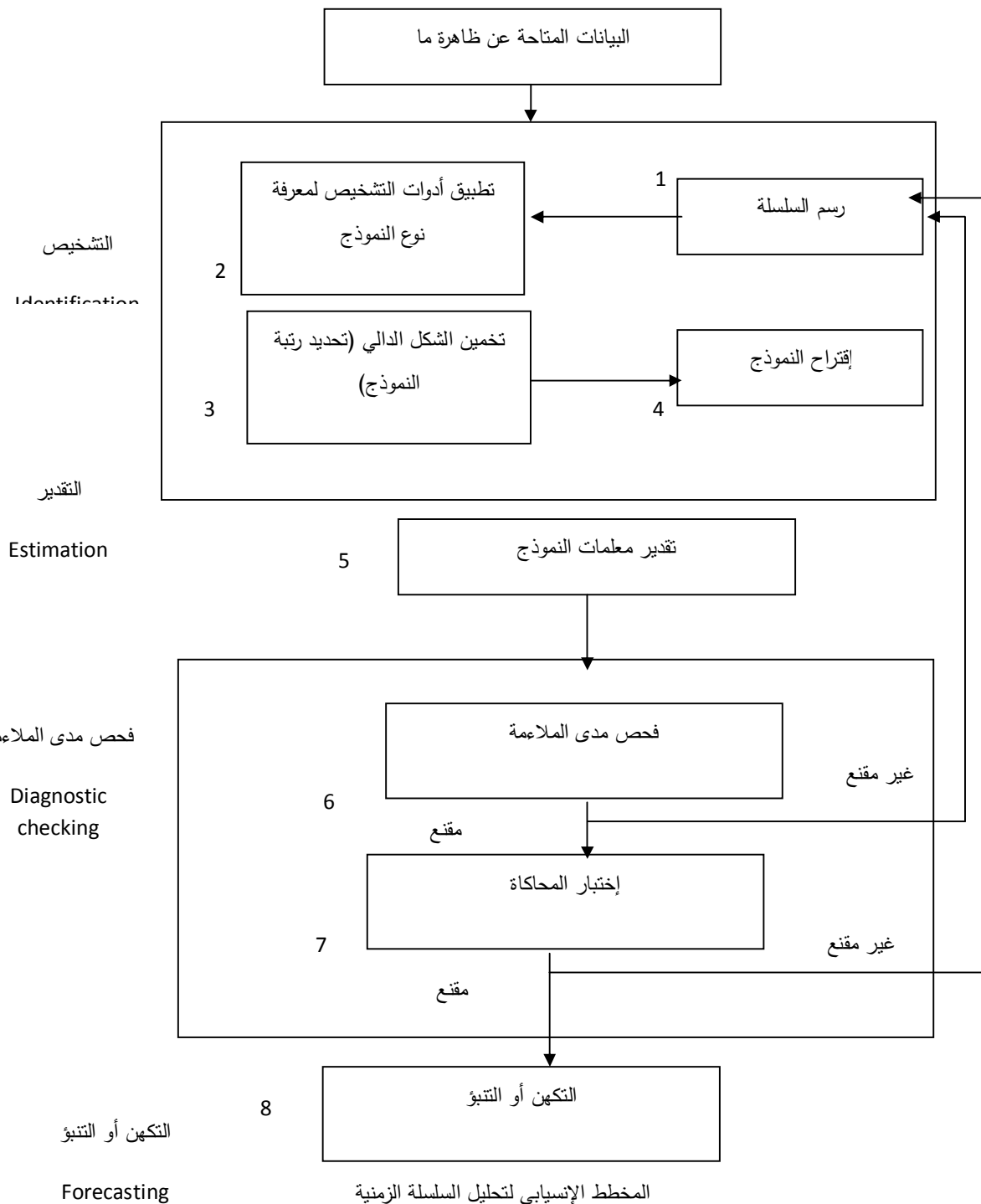
$$\phi_{11} = \rho_1 \dots \dots \dots \dots \dots (8 - 3)$$

### 3-5 تحليل السلسلات الزمنية : Time Series analysis

يتكون تحليل السلسلات الزمنية من مراحل متسلسلة تبدأ بمرحلة التشخيص Identification للنموذج والتي تعد المرحلة الأهم. وتليها مرحلة تدبير Estimation معلمات النموذج ، ومن ثم مرحلة فحص مدى الملاءمة Diagnostics Checking للنموذج. وتأتي المرحلة الأخيرة وهي مرحلة التنبؤ Forecasting. ومن الجدير بالذكر أن هناك إتجاهين لتحليل السلسلات الزمنية الأول هو إتجاه الزمن Time Domain والذي يعتمد على دوال الإرتباط الذاتي ودوال الإرتباط الذاتي الجزئي الثاني هو إتجاه التكرار Frequency Domain والذي يعتمد على تحليل الطيفي Spectrum Analysis وهذا سيكون تطبيقنا في هذا البحث على الإتجاه الأول .

و الشكل رقم 2-1 هو مخطط الإنسيابي Flowchart لتحليل السلسلة الزمنية

شكل (1-3): يوضح مراحل تحليل السلسلة الزمنية:[1]



### 6-3 السكون (الاستقرارية) : Stationary

من شروط تحليل السلسلة الزمنية أن تكون مستقرة في المتوسط أي أن متوسطها ثابت و لا يختلف باختلاف الزمن . وأيضا يجب أن يكون تباين السلسلة الزمنية ثابت و لا يختلف باختلاف الزمن .

و عدم تحقق أي من الشرطين السابقين يؤدي إلى عدم إمكانية تحليل السلسلة الزمنية و لذلك يجب معالجته أولاً.

### **٦-١ معالجة عدم الاستقرار في المتوسط :**

تم معالجة عدم الإستقرار في المتوسط بإيجاد تحويل مناسب للسلسلة غير المستقرة  
لتحويلها إلى سلسلة مستقرة فإذا كان لدينا النموذج الآتي:

$$z_t = a_0 + a_1 + a_t \dots \sim N(0, \sigma^2) \dots \dots \dots (9-3)$$

نجد إن المتوسط هو

$$E(z_t) = \alpha_0 + \alpha_1 t$$

وهو غير ثابت بالنسبة للزمن، أي أن شرط الاستقرار الأول غير متحقق في هذه الحالة.

نجد التحويل  $\nabla z$  و كالتالي:

الآن نجد متوسط السلسلة الجديدة

$$E(w_t) = \alpha_1 = \text{const} \dots \forall t$$

أي أن تطبيق التحويل  $(1-B)^{-1} = \nabla$  على السلسلة غير المستقرة (أيأخذ الفرق الأول للسلسلة)

حولها إلى سلسلة مستقرة.

و كمثال آخر إذا كان لدينا النموذج الآتي:

$$z_t = a_0 + a_1 t + a_2 t^2 + a_t \sim N(0, \sigma^2), a_0, a_1, a_2 \in (-\infty, \infty) \dots \dots \dots (10-3)$$

بإيجاد المتوسط

$$E(z_t) = a_0 + a_1 t + a_2 t^2$$

وهو يعتمد على الزمن، أي أن النموذج غير مستقر. بأخذ التحويل  $\nabla^2 z_t$  (أخذ الفرق الثاني)

نجد

$$\rho_1 = \phi_1 + \phi_2 \rho_1 + \dots + \phi_p \rho_{p-1}$$

$$(1-2B+B^2)z_t = (1-2B+B^2)(a_0 + a_1 t + a_2 t^2 + a_t)$$

$$w_t = \alpha_0 - 2\alpha_0 - \alpha_0 + \alpha_1 t - 2\alpha_1(t-1) + \alpha_1(t-2) + \alpha_2 t^2 - 2\alpha_2(t-1)^2 + \alpha_2(t-2)^2 + a_t - 2a_{t-1} + a_{t-2}$$

$$2\alpha_1 + a_t + a_{t-1} + a_{t-2}$$

$$= 2\alpha_1 + E(a_t + a_{t-1} + a_{t-2})$$

وهكذا

$$w_t = \nabla^2 z_t = 2a_1 \dots \dots \dots (11-3)$$

$$E(w_t) = 2\alpha_1 = \text{const} \dots \forall t$$

أي أن تطبيق التحويل  $\nabla^d$  (أيأخذ الفرق الثاني) على السلسلة غير المستقرة حولها إلى مستقرة.

بشكل عام إذا كان النموذج غير المستقر على الشكل

$$z_t = \alpha_0 + \alpha_1 t + \dots + \alpha_s t^s + a_t, \quad a_t \sim N(0, \delta^2), \quad \alpha_0, \alpha_1, \dots, \alpha_s \in (-\infty, \infty)$$

فإن التحويل  $\nabla^d z_t$  يحوله إلى نموذج مستقر، أي أن  $w_t = \nabla^d z_t$  هو نموذج مستقر.

### 3-6-3 معالجة عدم الاستقرار في التباين:

تتم معالجة عدم الاستقرار في التباين بإيجاد تحويل مناسب للسلسلة غير المستقرة

لتحويلها إلى سلسلة مستقرة فإذا كان لدينا النموذج الآتي:

$$z_t = z_{t-1} + a_t, \quad a_t \sim N(0, \sigma^2) \dots \dots \dots \quad (12-3)$$

نجد من التعويض المتكرر

$$z_t = a_1 + a_2 + \dots + a_t$$

وبأخذ التوقع والتباین

$$E(z_t) = 0 = \text{constant} \quad \forall t$$

$$V(z_t) = t\sigma^2$$

ونلاحظ إن التباين يعتمد على الزمن  $t$ .

$$w_t = \nabla z_t = z_t - z_{t-1} = a_t \dots \dots \dots \quad (13-3)$$

وبأخذ التوقع والتباین

$$E(w_t) = 0 = \text{constant} \quad \forall t$$

$$V(w_t) = \sigma^2 = \text{constant} \quad \forall t$$

إذن الفرق الأول حول السلسلة غير المستقرة في التباين إلى سلسلة مستقرة.

بشكل عام إذا كان التباين دالة في متوسط متغير على الشكل

$$V(z_t) = cf(\mu_t)$$

حيث  $c > 0$  ثابت و  $f(\mu_t)$  دالة معروفة تعطى قيمة غير سالبة و  $\mu_t$  متوسط يتغير مع الزمن و

بالتالي فإن التباين يعتمد على الزمن وهنا نحاول إيجاد تحويل  $T(z_t)$  أي إيجاد دالة  $T(u_t)$  لإستقرار التباين.

التحويل

$$y - T(z) = \frac{z_t^{A-1}}{\lambda} \dots \dots \dots \quad (14-3)$$

يعطي سلسلة مستقرة في التباين حيث  $\lambda \in (-\infty, \infty)$  هو معلمة التحويل. الجدول التالي يعطي

القيم الأكثر استخداماً للمعلمة  $\lambda$  مع التحويلات المقابلة لها:

جدول (1-3): يعطي القيم الأكثر استخداماً للمعلم  $\lambda$  مع التحويلات المقابلة لها:

$\lambda$	-0.1	-0.5	0.0	0.5	1.0
$y_t$	$\frac{1}{z_t}$	$\frac{1}{\sqrt{z_t}}$	$\ln z_t$	$\sqrt{z_t}$	$z_t$

### 7-3 نماذج تحليل السلاسل الزمنية : Time Series analysis models

تضم نماذج تحليل السلاسل الزمنية بصورة عامة ثلاثة نماذج أساسية تسمى نماذج بوكس

جنكر ونستعرض النماذج مع بعض خصائصها :

**نماذج الإنحدار الذاتي : AR(p)**

و التي تعرف بصورة عامة كالتالي:

$$\phi_p(B)z_t = \delta + a_t \dots \dots \dots \quad (8-2)$$

$$z_t = \delta + \phi_1 z_{t-1} + \phi_2 z_{t-2} + \dots + \phi_p z_{t-p} + a_t, a_t \sim N(0, \sigma^2) \dots \dots \dots \quad (9-2)$$

**نموذج الإنحدار الذاتي من الدرجة الأولى : AR(1)**

وهو على الشكل:

$$\phi_1(B)z_t = \delta + \theta_0(B)a_t$$

$$(1 - \phi_1)z_t = \delta + a_t$$

$$z_t = \delta + \phi_1 z_{t-1} + a_t, a_t \sim N(0, \sigma^2) \dots \dots \dots \quad (10-2)$$

ولكي يتحقق شرط الإستقرارية يجب أن يكون

$$|B| > 1 \Rightarrow |\phi_1| = \frac{1}{|B|} \Rightarrow |\phi| \leq 1$$

$$-1 < \phi < 1$$

**خصائص نماذج الإنحدار الذاتي:**

نستعرض الخصائص الإحصائية التي تميز نماذج الإنحدار الذاتي

و قبل دراسة خصائص تلك النماذج يجب أن نذكر تعريف كل من التغير الذاتي و الإرتباط الذاتي و الإرتباط الذاتي الجزئي.

**تعريف 2-4:** دالة التغایر الذاتي Auto covariance Function وتعرب كال التالي:

$$\begin{aligned}\gamma_{t,s} &= \text{cov}(z_t, z_s), \dots \forall t, \forall s \\ &= E[(z_t - \mu)(z_s - \mu)] \dots \forall t, \forall s \quad (11-2)\end{aligned}$$

واذا عرفنا الإزاحة  $k$  على إنها الفترة الزمنية التي تفصل بين  $Z_t$  وبين  $Z_{t+k}$  أو

التغایر الذاتي تعطى بالعلاقة:

$$\begin{aligned}\gamma_k &= \text{cov}(z_t, z_{t-k}), \dots k = 0, \pm 1, \pm 2, \dots \\ &= E[(z_t - \mu)(z_{t-k} - \mu)], K = 0, \pm 1, \pm 2, \dots \quad (12-2)\end{aligned}$$

**تعريف 2-5:** دالة الإرتباط الذاتي (ACF) Autocorrelation Function (ACF)

وتعرب كال التالي:

$$\rho_k = \frac{\gamma_k}{\gamma_0}, K = 0, \pm 1, \pm 2, \dots \quad (13-2)$$

ولها الخواص التالية:

1.  $\rho_0 = 1$
2.  $\rho_{-k} = \rho_k$
3.  $0 \leq |\rho_k| \leq 1$

دالة التغایر الذاتي للتشويش الأبيض هي:

$$\gamma_k = \text{cov}(a_t, a_{t-k}) \begin{cases} \delta^2, k=0 \\ 0 \end{cases} \dots \quad (14-2)$$

And

$$\rho_k = \frac{\gamma_K}{\gamma_0} \begin{cases} 1, k=0 \\ 0 \end{cases} \dots \dots \dots \quad (15-2)$$

**تعريف 2-6:** دالة الإرتباط الذاتي الجزئي (PACF) (Partial Autocorrelation Function)

وتعطي مقدار الإرتباط بين  $Z_t$  و  $Z_{t-k}$  بعد إزالة تأثير الإرتباط الناتج من المتغيرات  $Z_{t-1}, Z_{t-2}, \dots, Z_{t-k+1}$  الواقعه بينهما ويرمز لها عند الإزاحة  $k$  بالرمز  $\phi_{kk}$  وأحد طرق حسابها

تقوم على حساب معامل الإنحدار الذاتي  $\phi_{kk}$

$$z_t = \phi_{k1} z_{t-1} + \phi_{k2} z_{t-2} + \dots + \phi_{kk} z_{t-k} + a_t \dots \dots \dots \quad (16-2)$$

$$z_k = \phi_1 z_{t-1} + a_t$$

حساب  $\phi_{11}$ :

بضرب طرفي العلاقة بـ  $Z_{t-1}$  وأخذ التوقع نجد

$$E(Z_{t-1} Z_t) = \phi_{11} E(Z_{t-1} Z_{t-1}) + E(Z_{t-1} a_t)$$

أي

$$\gamma_1 = \phi_{11} \gamma_0 \dots \dots \dots \quad (17-2)$$

بالقسمة على  $\gamma_0$  نجد

$$\phi_{11} = \rho_1 \quad \dots \dots \dots (18 - 2)$$

**تعريف 2-7:** بشكل عام تعرف دالة الإرتباط الذاتي الجزئي كالتالي:

$$\phi_{kk} = \begin{cases} 1, & k=0 \\ \rho_1, & k=1 \\ \begin{vmatrix} 1 & \rho_1 & \cdots & \rho_{k-2} & \rho_1 \\ \rho_1 & 1 & \cdots & \rho_{k-3} & \rho_2 \\ \vdots & \vdots & \cdots & \vdots & \vdots \\ \rho_{k-1} & \rho_{k-2} & \cdots & \rho_1 & \rho_k \end{vmatrix}, & k=2,3,\dots \end{cases} \dots \dots \dots (19-2)$$

حيث | ترمز إلى محدد المصفوفة.

التعريف السابق صعب الإستخدام لقيم  $\rho$  الكبيرة وهناك تعريف آخر لحساب دالة الإرتباط الذاتي الجزئي تكرارياً.

**تعريف 2-8:** تحسب  $\phi_{kk}$  تكرارياً من العلاقات

$$\phi_{00} = 1, \text{ by definition} \quad \dots \dots \dots (20 - 2)$$

$$\phi_{11} = \rho_1 \quad \dots \dots \dots (21 - 2)$$

$$\phi_{kk} = \frac{\rho_k - \sum_{j=1}^{k-1} \phi_{k-j,k} \rho_{k-j}}{1 - \sum_{j=1}^{k-1} \phi_{k-j,k} \rho_j}, \quad k=2,3,\dots \quad (22-2)$$

حيث

$$\phi_{kj} = \phi_{k-1,j} - \phi_{kk} \phi_{k-1,k-1}, \quad j=1,2,\dots,k-1 \quad (23-2)$$

:حساب  $\phi_{22}$

من تعريف 2-8:

$$\phi_{22} = \frac{\rho_2 - \phi_{11}\rho_1}{1 - \phi_{11}\rho_1} = \frac{\rho_2 - \rho_1^2}{1 - \rho_1^2} \quad (24-2)$$

وذلك لأن  $\phi_{11} = \rho_1$

أما الإرتباط الذاتي الجزئي للتشويش الأبيض فهو:

من تعريف 2-7:

$$\phi_{00} = 1, \quad \text{by definition} \quad (25-2)$$

$$\phi_{11} = \rho_1 = 0 \quad (26-2)$$

وبالتعويض في تعريف 2-6 عن  $\phi_{kk}$  نجد

$$\phi_{22} = \phi_{33} = \dots = 0$$

وهكذا:

$$\phi_{kk} = \begin{cases} 1, & k = 0 \\ 0, & k \neq 0 \end{cases} \quad \dots \dots \dots (27 - 2)$$

**تعريف 2-9:** تحسب  $r_{kk}$  تكرارياً من العلاقات

$$r_{00} = 1, \quad \text{by definition} \quad \dots \dots \dots (28 - 2)$$

$$r_{11} = r_1 \quad \dots \dots \dots (29 - 2)$$

$$r_{kk} = \frac{r_k - \sum_{j=1}^{k-1} r_{k-1,j} r_{k-j}}{1 - \sum_{j=1}^{k-1} r_{k-1,j} r_j}, \quad k = 2, 3, \dots \quad \dots \dots \dots (30 - 2)$$

حيث

$$r_{kj} = r_{k-1,j} - r_{kk} r_{k-1,k-1}, \quad j = 1, 2, \dots, k-1 \quad \dots \dots \dots (31-2)$$

وهي مقدّر Estimator لدالة الإرتباط الذاتي الجزئي من العينة أي  $\hat{\phi}_{kk} = r_{kk}$ ,  $k = 0, 1, 2, \dots$  وبما إنها مقدّر فهي إذن تتغيّر عشوائياً من عينة لأخرى ولهذا فإن لها الخواص التالية:

$$V(r_{kk}) \cong \frac{1}{n}, \quad k > 0 \quad -1$$

2 - لقيم  $n$  الكبيرة فإن  $r_{kk}$  يكون لها تقريراً توزيع طبيعي وبالتالي نستطيع القيام بالإختبار

التالي:

$$H_0: \phi_{kk} = 0$$

$$H_1: \phi_{kk} \neq 0$$

وذلك بإستخدام الإحصائية:

$$\frac{|r_{kk}|}{n^{-\frac{1}{2}}} = \sqrt{n} |r_{kk}|$$

وذلك عند مستوى معنوية  $\alpha = 0.05$  وترفض  $H_0$  إذا كانت  $\sqrt{n} |r_{kk}| > 1.96$

3 - تحت الفرضية  $corr(\phi_{kk}, \phi_{k-s, k-s}) \cong 0, s \neq 0$  فإن  $H_0: \phi_{kk} = 0, \forall k$

4- تُقدر التباينات لدالة الإرتباط الذاتي للعينة كالتالي:

$$\hat{V}(r_{kk}) \cong \frac{1}{n}, \quad k > 0$$

خصائص نموذج الإنحدار الذاتي من الدرجة الأولى (AR(1)):

وهو على الشكل:

$$\phi_1(B)z_t = \delta + \theta_0(B)a_t$$

$$(1 - \phi_1 B)z_t = \delta + a_t \\ z_t = \delta + \phi_1 z_{t-1} + a_t, \quad a_t \sim N(0, \sigma^2) \quad \dots \dots \dots \quad (32-2)$$

سوف نوجد التوقع (المتوسط) ودالتي الإرتباط الذاتي والإرتباط الذاتي الجزئي:

$$\begin{aligned} (1 - \phi_1 B) z_t &= \delta + a_t \\ z_t &= \frac{\delta}{(1 - \phi_1)} + (1 - \phi_1 B)^{-1} a_t \quad \dots \dots \dots (33-2) \\ E(z_t) &= \frac{\delta}{(1 - \phi_1)} + E \left[ (1 - \phi_1 B)^{-1} a_t \right] \end{aligned}$$

الحد الثاني في الطرف الأيمن هو

$$E \left[ (1 - \phi_1 B)^{-1} a_t \right] = E \left[ \left( \sum_{j=0}^{\infty} \phi_1^j B^j \right) a_t \right]$$

$$\begin{aligned} E \left[ (1 - \phi_1 B)^{-1} a_t \right] &= E \left[ \left( \sum_{j=0}^{\infty} \phi_1^j B^j \right) a_t \right] \\ &= \left[ \left( \sum_{j=0}^{\infty} \phi_1^j B^j \right) E(a_t) \right] \\ &= 0, \quad \forall t \end{aligned}$$

ويكون

$$E(z_t) = \frac{\delta}{(1 - \phi_1)}$$

أو

$$\begin{aligned} \mu &= \frac{\delta}{(1 - \phi_1)} \\ \therefore \delta &= \mu (1 - \phi_1) \quad \dots \dots \dots (34-2) \end{aligned}$$

وبالتعويض عن  $\delta$  في صيغة النموذج نجد

$$\begin{aligned}
z_t &= \delta + \phi_1 z_{t-1} + a_t \\
&= \mu(1 - \phi_1) + \phi_1 z_{t-1} + a_t \\
&= \mu + \phi_1(z_{t-1} - \mu) + a_t \\
(z_t - \mu) - \phi_1(z_{t-1} - \mu) &= a_t
\end{aligned}$$

نضرب طرفي المعادلة السابقة في  $\mu - z_{t-k}$  ونأخذ التوقع أي

$$E[(z_{t-k} - \mu)(z_t - \mu)] - \phi_1 E[z_{t-k} - \mu](z_{t-1} - \mu) = E[(z_{t-k} - \mu)a_t], k = 0, \pm 1, \pm 2, \dots$$

أي

$$\gamma_k - \phi_1 \gamma_{k-1} = E[(z_{t-k} - \mu)a_t], \quad k = 0, \pm 1, \pm 2, \dots$$

وذلك من تعريف 2-5 و نحل هذه العلاقة تكرارياً كما يلي:

$$k = 0: \quad \gamma_0 - \phi_1 \gamma_1 = E[(z_t - \mu)a_t]$$

لأيجاد الطرف الأيمن نقوم وبالتالي:

$$\begin{aligned}
E[a_t(z_t - \mu)] - \phi_1 E[a_t(z_{t-1} - \mu)] &= E(a_t a_t) \\
E[a_t(z_t - \mu)] - \phi_1 \times (0) &= \sigma^2 \\
\therefore E[a_t(z_t - \mu)] &= \sigma^2
\end{aligned}$$

إذن

$$\gamma_0 - \phi_1 \gamma_1 = \sigma^2$$

$$k = 1: \quad \gamma_1 - \phi_1 \gamma_0 = E[(z_{t-1} - \mu)a_t] = 0$$

بما أن

$$\gamma_k - \phi_1 \gamma_{k-1} = 0, \quad k = 1, 2, \dots$$

بقسمة المعادلة الأخيرة على  $\%_{\text{جد}}$

$$\rho_k - \phi_1 \rho_{k-1} = 0, \quad k = 1, 2, \dots$$

أو

$$\rho_k = \phi_1 \rho_{k-1}, \quad k = 1, 2, \dots$$

وبما أن  $\rho_0 = 1$  فإن:

$$\rho_1 = \phi_1 \rho_0 = \phi_1$$

$$\rho_2 = \phi_1 \rho_1 = \phi_1^2$$

•  
•  
•

$$\rho_k = \phi_1^k$$

أو بشكل دالة

وذلك لأن  $\forall k$ ,  $\rho_k = \rho_{-k}$  يتم النظر من الآن وصاعداً للشق الموجب من  $\rho$  أي

$$\rho_k = \phi_1^k, \quad k = 0, 1, 2, \dots$$

## ن Stacy الآن دالة الإرتباط الذاتي الجزئي

نجد 6-2 التعريف من

$\phi_{00} = 1$ , by definition

$$\phi_{11} = \rho_1 = \phi_1, \quad \text{by definition}$$

$$\phi_{22} = \frac{\begin{vmatrix} 1 & \rho_1 \\ \rho_1 & \rho_2 \\ 1 & \rho_1 \\ \rho_1 & 1 \end{vmatrix}}{\begin{vmatrix} 1 & \phi_1 \\ \phi_1 & \phi_1^2 \\ 1 & \phi_1 \\ \phi_1 & 1 \end{vmatrix}} = \frac{0}{1 - \phi_1^2} = 0$$

•  
•  
•

$$\phi_{kk} = \frac{\begin{vmatrix} 1 & \rho_1 & \cdots & \rho_1 \\ \rho_1 & 1 & \cdots & \rho_2 \\ \vdots & \vdots & \cdots & \vdots \\ \rho_{k-1} & \rho_{k-2} & \cdots & \rho_k \end{vmatrix}}{\begin{vmatrix} 1 & \phi_1 & \cdots & \phi_1 \\ \phi_1 & 1 & \cdots & \phi_1^2 \\ \vdots & \vdots & \cdots & \vdots \\ \phi_1^{k-1} & \phi_1^{k-2} & \cdots & \phi_1^k \end{vmatrix}} = \frac{\begin{vmatrix} 1 & \rho_1 & \cdots & \rho_{k-1} \\ \rho_1 & 1 & \cdots & \rho_{k-2} \\ \vdots & \vdots & \cdots & \vdots \\ \rho_{k-1} & \rho_{k-2} & \cdots & 1 \end{vmatrix}}{\begin{vmatrix} 1 & \phi_1 & \cdots & \phi_1^k \\ \phi_1 & 1 & \cdots & \phi_1^{k-1} \\ \vdots & \vdots & \cdots & \vdots \\ \phi_1^{k-1} & \phi_1^{k-2} & \cdots & 1 \end{vmatrix}} = \frac{0}{| > 0}$$

محددة البسط تساوي صفر لأن العمود الأخير يساوي العمود الأول مضروباً في  $\emptyset$  ونكتب دالة

## الإرتباط الذاتي الجزئي على الشكل الدالي:

خواص نموذج الإرتباط الذاتي

-1- عندما تكون  $\phi_1 < 1$  (شرط الاستقرار) فإن  $E(z_t) = \delta / (1 - \phi_1)$  وهو ثابت لجميع قيم  $t$ .

2- دالة الارتباط الذاتي تتناقص أسيّاً في اتجاه واحد ابتداءً من  $\beta$  عندما تكون  $0 < \phi_1 < 1$

وتناقض أسيّاً متزددة بين القيم الموجبة والسلبية عندما تكون  $0 < \phi < -1$ .

3- دالة الإرتباط الذاتي الجزئي لها قيمة واحدة غير صفرية ( مع عدم النظر

إلى  $\phi_{00}$  ) ويكون إتجاهها حسب إشارة  $\phi$  ومقدارها يساوي  $|\phi_1|$

: 2-1-6-2 نموذج الإنحدار الذاتي من الدرجة الثانية (2) : AR(2)

وهو على الشكل:

$$\phi_2(B)z_t = \delta + \theta_0(B)a_t$$

$$(1 - \phi_1 B - \phi_2 B^2)z_t = \delta + a_t$$

$$z_t = \delta + \phi_1 z_{t-1} + \phi_2 z_{t-2} + a_t, \quad a_t \sim N(0, \sigma^2) \quad \dots \dots \dots \quad (37-2)$$

خصائص نموذج الإنحدار الذاتي من الدرجة الثانية : AR(2)

ويكتب على الشكل:

$$z_t = \phi_1 z_{t-1} + \phi_2 z_{t-2} + a_t$$

$$\phi(B) = (1 - \phi_1 B - \phi_2 B^2)$$

$$1 - \phi_1 B - \phi_2 B^2 = 0$$

$$\phi_2 B^2 + \phi_1 B - 1 = 0$$

ولكي يتحقق شرط الاستقرارية يجب أن تكون جذور المعادلة خارج دائرة الوحدة وهي

$$\phi_1 < 2$$

$$\phi_2 < 1$$

نوجد المتوسط ودالتي الإرتباط الذاتي والإرتباط الذاتي الجزئي:

$$\begin{aligned} (1 - \phi_1 B - \phi_2 B^2) z_t &= \delta + a_t \\ z_t &= \frac{\delta}{(1 - \phi_1 - \phi_2)} + (1 - \phi_1 B - \phi_2 B^2)^{-1} a_t \\ E(z_t) &= \frac{\delta}{(1 - \phi_1 - \phi_2)} + E\left[(1 - \phi_1 B - \phi_2 B^2)^{-1} a_t\right] \end{aligned}$$

الحد الثاني في الطرف الأيمن مجموع لانهائي على الشكل  $E\left(\sum_{j=0}^{\infty} \psi_j a_{t-j}\right)$  ولكي ندخل

التوقع داخل المجموع اللانهائي يجب أن تتحقق معلمات الإنحدار الذاتي الشروط التالية:

$$\phi_2 - \phi_1 < 1$$

$$\phi_2 + \phi_1 < 1$$

$$-1 < \phi_1 < 1$$

$$-1 < \phi_2 < 1$$

والتي تسمى بشروط الاستقرار و إذا تحققت شروط الاستقرار فإن

$$E\left[\left(1 - \phi_1 B - \phi_2 B^2\right)^{-1} a_t\right] = \left[\left(1 - \phi_1 B - \phi_2 B^2\right)^{-1} E(a_t)\right] = 0, \forall t$$

ويكون

$$\begin{aligned} \mu &= E(z_t) = \frac{\delta}{(1 - \phi_1 - \phi_2)} \\ \delta &= (1 - \phi_1 - \phi_2) \mu \end{aligned} \quad \dots \quad (38-2)$$

و بالتعويض عن  $\delta$  في صيغة النموذج نجد

$$\begin{aligned} z_t &= (1 - \phi_1 - \phi_2) \mu + \phi_1 z_{t-1} + \phi_2 z_{t-2} + a_t \\ &= \mu + \phi_1 (z_{t-1} - \mu) + \phi_2 (z_{t-2} - \mu) + a_t \\ (z_t - \mu) - \phi_1 (z_{t-1} - \mu) - \phi_2 (z_{t-2} - \mu) &= a_t \end{aligned}$$

بضرب المعادلة السابقة في  $z_{t-k} - \mu$  وأخذ التوقع نجد:

$$\begin{aligned} E[(z_t - \mu)(z_{t-k} - \mu) - \phi_1(z_{t-1} - \mu)(z_{t-k} - \mu) - \phi_2(z_{t-2} - \mu)(z_{t-k} - \mu)] \\ = E[a_t(z_{t-k} - \mu)], k = 0, \pm 1, \pm 2, \dots \end{aligned}$$

أي

$$\begin{aligned} E[(z_t - \mu)(z_{t-k} - \mu)] - \phi_1 E[(z_{t-1} - \mu)(z_{t-k} - \mu)] - \phi_2 E[(z_{t-2} - \mu)(z_{t-k} - \mu)] \\ = E[a_t(z_{t-k} - \mu)], k = 0, \pm 1, \pm 2, \dots \end{aligned}$$

أو

$$\gamma_k - \phi_1 \gamma_{k-1} - \phi_2 \gamma_{k-2} = E[a_t(z_{t-k} - \mu)], k = 0, \pm 1, \pm 2, \dots$$

الآن نحل هذه العلاقة تكرارياً كما يلي:

$$k = 0 : \gamma_0 - \phi_1 \gamma_{-1} - \phi_2 \gamma_{-2} = E[a_t(z_t - \mu)] = \sigma^2 \Rightarrow \gamma_0 = \phi_1 \gamma_1 - \phi_2 \gamma_2 + \sigma^2$$

وذلك من القاعدة الآتية:

**قاعدة 1-2**

$$E[(z_{t-k} - \mu)a_t] = E(a_{t-k}a_t) = \begin{cases} \sigma^2, & k = 0 \\ 0, & k = 1, 2, \dots \end{cases}$$

إذن

$$k = 1 : \gamma_1 - \phi_1 \gamma_0 - \phi_2 \gamma_1 = 0 \Rightarrow \gamma_1 = \phi_1 \gamma_0 - \phi_2 \gamma_1$$

$$k=2 : \gamma_2 - \phi_1\gamma_1 - \phi_2\gamma_0 = 0 \Rightarrow \gamma_2 = \phi_1\gamma_1 - \phi_2\gamma_0$$

وبشكل عام

$$k \geq 1 : \gamma_k = \phi_1\gamma_{k-1} + \phi_2\gamma_{k-2} \dots \quad (39-2)$$

بقسمة الطرفين على  $\gamma_0$  نجد

$$\rho_k = \phi_1\rho_{k-1} + \phi_2\rho_{k-2}, \quad k = 1, 2, \dots \quad (40-2)$$

بوضع المعادلة السابقة على الشكل

$$\rho_k - \phi_1\rho_{k-1} - \phi_2\rho_{k-2} = 0, \quad k = 1, 2, \dots$$

سوف نحل العلاقة السابقة بالطريقة التكرارية والتي تحتاج الى قيمتين أوليتين:

$$1 - \rho_0 = 1$$

$$2 - \rho_1 = \phi_1\rho_0 + \phi_2\rho_{-1} \Rightarrow \rho_1 = \frac{\phi_1}{1 - \phi_2}$$

ومنها نجد

$$\rho_2 = \phi_1\rho_1 + \phi_2\rho_0 \Rightarrow \rho_2 = \frac{\phi_1^2}{1 - \phi_2} + \phi_2$$

وذلك أيضاً لنفس السبب السابق.

إذن

### نماذج المتوسط التحرك : MA(q) 2-2-2

وهي تأخذ الشكل الآتي:

$$z_t = \delta + (1 - \theta_q B) a_t$$

$$z_t = \delta - \theta_1 a_{t-1} - \theta_2 a_{t-2} - \dots - \theta_q a_{t-q} + a_t, \quad a_t \sim N(0, \sigma^2) \quad \dots \dots \dots \quad (42-2)$$

نماذج المتوسط المتحرك من الدرجة الأولى :  $MA(1)$

وهو على الشكل:

$$\begin{aligned} \phi_0(B)z_t &= \delta + \theta_1(B)a_t \\ z_t &= \delta + (1 - \theta_1 B)a_t \\ z_t &= \delta - \theta_1 a_{t-1} + a_t, a_t \sim N(0, \sigma^2) \end{aligned} \quad \dots \quad (43-2)$$

خصائص نموذج المتوسط المتحرك من الدرجة الأولى : MA(1)

و يكتب على الشكل:

$$\begin{aligned}\phi_0(B)z_t &= \delta + \theta_l(B)a_t \\ z_t &= \delta + (1 - \theta_l B)a_t \\ z_t &= \delta - \theta_l a_{t-1} + a_t, a_t \sim N(0, \sigma^2)\end{aligned}\quad \dots \dots \dots \quad (44-2)$$

الآن نوجد المتوسط دالتى الإرتباط الذاتي والإرتباط الذاتي الجزئي:

$$E(z_t) = E(\delta + a_t - \theta_1 a_{t-1}) = \delta$$

$$\therefore \mu = \delta \quad \dots \dots \dots (45-2)$$

ونكتب النموذج

$$z_t - \mu = a_t - \theta_1 a_{t-1}$$

بضرب هذه المعادلة في  $z_{t-k} - \mu$  وأخذ التوقع نجد

$$E[(z_t - \mu)(z_{t-k} - \mu)] = E[(z_{t-k} - \mu)a_t] - \theta_1 E[(z_{t-k} - \mu)a_{t-1}], \quad k = 0, \pm 1, \pm 2, \dots$$

أو

$$\gamma_k = E[(z_{t-k} - \mu)a_t] - \theta_1 E[(z_{t-k} - \mu)a_{t-1}], \quad k = 0, \pm 1, \pm 2, \dots$$

وبحلها تكرارياً

$$k=0: \quad \gamma_0 = E[(z_t - \mu)a_t] - \theta_1 E[(z_t - \mu)a_{t-1}]$$

نوجد كل من  $E[(z_t - \mu)a_{t-1}]$  و  $E[(z_t - \mu)a_t]$  كالتالي:

$$E[(z_t - \mu)a_t] = E(a_t a_t) - \theta_1 E(a_{t-1} a_t) = \sigma^2$$

$$E[(z_t - \mu)a_{t-1}] = E(a_t a_{t-1}) - \theta_1 E(a_{t-1} a_{t-1}) = -\theta_1 \sigma^2$$

$$\therefore \gamma_0 = \sigma^2 - \theta_1(-\theta_1 \sigma^2) = \sigma^2(1 + \theta_1^2)$$

$$k=1: \quad \gamma_1 = E[(z_{t-1} - \mu)a_t] - \theta_1 E[(z_{t-1} - \mu)a_{t-1}]$$

$$\therefore \gamma_1 = -\theta_1 \sigma^2 \Rightarrow \rho_1 = \frac{\gamma_1}{\gamma_0} = \frac{-\theta_1}{1 + \theta_1^2}$$

وذلك باستخدام القاعدة 1-2

$$k=2: \quad \gamma_2 = E[(z_{t-2} - \mu)a_t] - \theta_1 E[(z_{t-2} - \mu)a_{t-1}] \\ \therefore \quad \gamma_2 = 0 \Rightarrow \rho_2 = 0$$

أيضاً من قاعدة 1-2 وبشكل عام فإن

$$k \geq 2 : \quad \gamma_k = 0 \Rightarrow \rho_k = 0$$

وهكذا فإن دالة الارتباط الذاتي لنموذج المتوسط المتحرك من الدرجة الأولى  $MA(1)$  هي على

## الشكل:

$$\rho_k = \begin{cases} 1, & k = 0 \\ \frac{-\theta_1}{1 + \theta_1^2}, & k = 1 \\ 0 & k \geq 2 \end{cases} \dots \dots \dots (46-2)$$

دالة الارتباط الذاتي الجزئي لنموذج المتوسط المتحرك من الدرجة الأولى  $MA(1)$

$\phi_{00} = 1$ , by definition

$$\phi_{11} = \rho_1, \text{ by definition}$$

وپشکل عام

$$\phi_{kk} = \frac{-\theta_1^k (1 - \theta_1^2)}{1 - \theta_1^{2(k+1)}}, \quad k > 0 \quad \dots \dots \dots (47-2)$$

:MA(2) 2-6-2 نموذج المتوسط المتحرك من الدرجة الثانية

ويأخذ الشكل الآتي:

$$z_t = \delta - \theta_1 a_{t-1} - \theta_2 a_{t-2} + a_t, \quad a_t \sim N(0, \sigma^2) \quad \dots \dots \dots (48-2)$$

خصائص نموذج المتوسط المتحرك من الدرجة الثانية (MA(2)) :

ويكتب على الشكل:

$$\begin{aligned} \phi_0(B)z_t &= \delta + \theta_2(B)a_t \\ z_t &= \delta + (1 - \theta_1 B - \theta_2 B^2)a_t \\ z_t &= \delta + a_t - \theta_1 a_{t-1} - \theta_2 a_{t-2}, \quad a_t \sim N(0, \sigma^2) \end{aligned} \quad \dots \dots \dots (49-2)$$

الآن نوجد المتوسط ودالتي الإرتباط الذاتي والإرتباط الذاتي الجزئي:

$$\begin{aligned} E(z_t) &= E(\delta + a_t - \theta_1 a_{t-1} - \theta_2 a_{t-2}) = \delta \\ \therefore \mu &= \delta \end{aligned} \quad \dots \dots \dots (50-2)$$

ونكتب النموذج

$$z_t - \mu = a_t - \theta_1 a_{t-1} - \theta_2 a_{t-2}$$

بضرب هذه المعادلة في  $\mu - z_{t-k}$  وأخذ التوقع نجد

$$\begin{aligned} E[(z_t - \mu)(z_{t-k} - \mu)] &= E[(z_{t-k} - \mu)a_t] - \theta_1 E[(z_{t-k} - \mu)a_{t-1}] \\ &\quad - \theta_2 E[(z_{t-k} - \mu)a_{t-2}], \quad k = 0, \pm 1, \pm 2, \dots \end{aligned}$$

أو

$$\gamma_k = E[(z_{t-k} - \mu)a_t] - \theta_1 E[(z_{t-k} - \mu)a_{t-1}] - \theta_2 E[(z_{t-k} - \mu)a_{t-2}], \quad k = 0, \pm 1, \pm 2, \dots$$

وبحلها تكرارياً نجد

$$\gamma_0 = \left(1 + \theta_1^2 + \theta_2^2\right)\sigma^2$$

$$\gamma_1 = (-\theta_1 + \theta_1 \theta_2) \sigma^2$$

$$\gamma_2 = -\theta_2 \sigma^2$$

$$\gamma_k = 0, \quad k > 2$$

و بالقسمة على % نجد

$$\rho_1 = \frac{-\theta_1 + \theta_1 \theta_2}{1 + \theta_1^2 + \theta_2^2}$$

$$\rho_2 = \frac{-\theta_2}{1 + \theta_1^2 + \theta_2^2}$$

$$\rho_k = 0, \quad k > 2$$

وتكتب على شكل دالة

$$\rho_k = \begin{cases} 1, & k = 0 \\ \frac{-\theta_1 + \theta_1 \theta_2}{1 + \theta_1^2 + \theta_2^2}, & k = 1 \\ \frac{-\theta_2}{1 + \theta_1^2 + \theta_2^2}, & k = 2 \\ 0, & k > 2 \end{cases} \dots \quad (51-2)$$

### 3-6-2 نماذج الإنحدار الذاتي\_المتوسط المتحرك Autoregressive-Moving Average

## :Models (ARMA(p,q))

و هذه النماذج تعتبر الحالة العامة حيث نماذج الانحدار الذاتي، ونماذج المتوسط المتحرك

تعتبر حالات خاصة من نماذج الانحدار الذاتي - المتوسط المتحرك من الناحية النظرية ، أما

من الناحية العملية فلما نموذج صبغته و خصائصه.

و يكتب على الشكل:

$$\begin{aligned} z_t - \phi_1 z_{t-1} - \phi_2 z_{t-2} - \cdots - \phi_p z_{t-p} &= \delta + a_t - \theta_1 a_{t-1} - \theta_2 a_{t-2} - \cdots - \theta_q a_{t-q} & \dots \dots \dots (52-2) \\ z_t - \phi_1 B z_t - \phi_2 B^2 z_t - \cdots - \phi_p B^p z_t &= \delta + a_t - \theta_1 B a_t - \theta_2 B^2 a_t - \cdots - \theta_q B^q a_t \\ (1 - \phi_1 B - \phi_2 B^2 - \cdots - \phi_p B^p) z_t &= \delta + (1 - \theta_1 B - \theta_2 B^2 - \cdots - \theta_q B^q) a_t \end{aligned}$$

أو

$$\phi_p(B) z_t = \delta + \theta_q(B) a_t \quad \dots \dots \dots (53-2)$$

$\phi_p(B) = 1 - \phi_1 B - \phi_2 B^2 - \cdots - \phi_p B^p$  حيث

$\theta_q(B) = 1 - \theta_1 B - \theta_2 B^2 - \cdots - \theta_q B^q$  هو عامل الإنحدار الذاتي و Autoregressive Operator

.Moving Average Operator المتوسط المتحرك

1-3-6-2 نموذج الإنحدار الذاتي\_المتوسط المتحرك من الدرجة (1,1)

ويكتب على الشكل:

$$\phi_1(B) z_t = \delta + \theta_1(B) a_t$$

$$(1 - \phi_1 B) z_t = \delta + (1 - \theta_1 B) a_t$$

$$z_t = \delta + \phi_1 z_{t-1} + a_t - \theta_1 a_{t-1}, a_t \sim N(0, \sigma^2)$$

خصائص نموذج المتوسط المتحرك-الإنحدار الذاتي من الدرجة ARMA(1,1)

ويكتب على الشكل:

$$\begin{aligned}\phi_l(B)z_t &= \delta + \theta_l(B)a_t \\ (1-\phi_l B)z_t &= \delta + (1-\theta_l B)a_t \\ z_t - \phi_l z_{t-1} &= \delta + a_t - \theta_l a_{t-1} \\ z_t &= \delta + \phi_l z_{t-1} + a_t - \theta_l a_{t-1}, a_t \sim N(0, \sigma^2), \phi_l \neq \theta_l\end{aligned}$$

و يجب أن يتحقق شرطان هما شرط الاستقرار Stationary و شرط الانقلاب

.  $|\theta_1| < 1$  Reversion

نوجد المتوسط كالتالي:

$$\begin{aligned} (1-\phi_l B) z_t &= \delta + (1-\theta_l B) a_t \\ z_t &= \frac{\delta}{1-\phi_l} + \frac{(1-\theta_l B)}{(1-\phi_l B)} a_t \\ E(z_t) &= \frac{\delta}{1-\phi_l} + \frac{(1-\theta_l B)}{(1-\phi_l B)} E(a_t) \end{aligned}$$

وذلك لأن  $|\phi_1| < 1$  وهذا

$$E(z_t) = \frac{\delta}{1-\phi_1} \dots \quad \dots \quad 54-2$$

أي  $\delta$  نجد  $E(z_t) = \mu = \frac{\delta}{1 - \phi_1}$  وبالتعويض عن  $\delta$  نجد

$$z_t = \mu(1-\phi) + \phi z_{t-1} + a_t - \theta_1 a_{t-1} \dots \quad \dots \quad 55-2$$

$$(z_t - \mu) - \phi(z_{t-1} - \mu) = a_t - \theta_1 a_{t-1}$$

وبضرب طرفي المعادلة بالحد ...  $(z_{t-k} - \mu), k = 0, \pm 1, \pm 2, \dots$  وأخذ التوقع للطرفين نجد

$$E[(z_{t-k} - \mu)(z_t - \mu)] - \phi_1 E[(z_{t-k} - \mu)(z_{t-1} - \mu)] = E[(z_{t-k} - \mu)a_t] - \theta_1 E[(z_{t-k} - \mu)a_{t-1}],$$

$$k = 0, \pm 1, \pm 2, \dots$$

و منها نجد

$$\gamma_k - \phi_1 \gamma_{k-1} = E[(z_{t-k} - \mu)a_t] - \theta_1 E[(z_{t-k} - \mu)a_{t-1}], k = 0, \pm 1, \pm 2, \dots$$

وبحلها تكرارياً نجد

$$k = 0 \quad \gamma_0 - \phi_1 \gamma_1 = E[(z_t - \mu)a_t] - \theta_1 E[(z_t - \mu)a_{t-1}]$$

نجد الان كل من  $E[(z_t - \mu)a_{t-1}]$  و  $E[(z_t - \mu)a_t]$  بضرب العلاقة

$$(z_t - \mu) - \phi_1(z_{t-1} - \mu) = a_t - \theta_1 a_{t-1}$$

في كل من  $a_t$  و  $a_{t-1}$  وأخذ التوقع

$$E[(z_t - \mu)a_t] - \phi_1 E[(z_{t-1} - \mu)a_t] = E[a_t a_t] - \theta_1 E[a_{t-1} a_t]$$

ومن القاعدة 2-1 نجد

$$E[(z_t - \mu)a_t] - \phi_1(0) = \sigma^2 - \theta_1(0)$$

$$E[(z_t - \mu)a_t] = \sigma^2$$

و

$$E[(z_t - \mu)a_{t-1}] - \phi_1 E[(z_{t-1} - \mu)a_{t-1}] = E[a_t a_{t-1}] - \theta_1 E[a_{t-1} a_{t-1}]$$

$$E[(z_t - \mu)a_{t-1}] - \phi_1 \sigma^2 = 0 - \theta_1 \sigma^2$$

$$\therefore E[(z_t - \mu)a_{t-1}] = \sigma^2 (\phi_1 - \theta_1)$$

وبالتعويض في الصيغة السابقة نجد

$$k=0 \quad \gamma_0 - \phi_1 \gamma_1 = \sigma^2 - \theta_1 \sigma^2 (\phi_1 - \theta_1) \\ \therefore \gamma_0 - \phi_1 \gamma_1 = \sigma^2 [1 - \theta_1 (\phi_1 - \theta_1)]$$

و

$$k=1 \quad \gamma_1 - \phi_1 \gamma_0 = E[(z_{t-1} - \mu) a_t] - \theta_1 E[(z_{t-1} - \mu) a_{t-1}] \\ \therefore \gamma_1 - \phi_1 \gamma_0 = -\theta_1 \sigma^2$$

$$k=2 \quad \gamma_2 - \phi_1 \gamma_1 = E[(z_{t-2} - \mu) a_t] - \theta_1 E[(z_{t-2} - \mu) a_{t-1}] = 0 \\ \therefore k \geq 2 \quad \gamma_k - \phi_1 \gamma_{k-1} = 0$$

ومن المعادلات

$$\gamma_0 - \phi_1 \gamma_1 = \sigma^2 [1 - \theta_1 (\phi_1 - \theta_1)]$$

$$\gamma_1 - \phi_1 \gamma_0 = -\theta_1 \sigma^2$$

نجد

$$\gamma_0 = \frac{1 + \theta_1^2 - 2\phi_1 \theta_1}{1 - \phi_1^2} \sigma^2 \\ \gamma_1 = \frac{(1 - \phi_1 \theta_1)(\phi_1 - \theta_1)}{1 - \phi_1^2} \sigma^2$$

ومن العلاقة السابقة نجد

$$\rho_1 = \frac{\gamma_1}{\gamma_0} = \frac{(1 - \phi_1 \theta_1)(\phi_1 - \theta_1)}{1 + \theta_1^2 - 2\phi_1 \theta_1}$$

ومن العلاقة

$$\gamma_k - \phi_1 \gamma_{k-1} = 0, \quad k \geq 2$$

وبالقسمة على  $\% \quad$  نجد

$$\rho_k - \phi_1 \rho_{k-1} = 0, \quad k \geq 2$$

ويمكن حل هذه المعادلة تكرارياً لجميع قيم  $k \geq 2$  بإستخدام القيم الأولية  $\rho_0 = 1$  و

$$\rho_1 = \frac{(1 - \phi_1 \theta_1)(\phi_1 - \theta_1)}{1 + \theta_1^2 - 2\phi_1 \theta_1}$$

فمثلاً

$$\rho_2 = \phi_1 \rho_1$$

$$\rho_2 = \phi_1 \frac{(1 - \phi_1 \theta_1)(\phi_1 - \theta_1)}{1 + \theta_1^2 - 2\phi_1 \theta_1}$$

$$\rho_3 = \phi_1 \rho_2$$

$$\rho_3 = \phi_1^2 \frac{(1 - \phi_1 \theta_1)(\phi_1 - \theta_1)}{1 + \theta_1^2 - 2\phi_1 \theta_1}$$

تكتب دالة الإرتباط الذاتي لنموذج  $ARMA(1,1)$  على الشكل

$$\rho_k = \begin{cases} 1, & k = 0 \\ \frac{(1 - \phi_1 \theta_1)(\phi_1 - \theta_1)}{1 + \theta_1^2 - 2\phi_1 \theta_1}, & k = 1, \dots, 56 - 2 \\ \phi_1 \rho_{k-1}, & k \geq 2 \end{cases}$$

## 6-4) نماذج الانحدار الذاتي- التكاملـي- المتوسط المتحرك Autoregressive-Integrated-Moving Average Models (ARIMA)

وهي تتنمي إلى عائلة كبيرة من النماذج التي يطلق عليها نماذج الانحدار الذاتي - المتوسط Box Autoregressive-Moving Average Models المتحرك ابتدعها العالمين Jenkins والتي أثبتت الأبحاث الكثيرة في مختلف الميادين التطبيقية على تفوقها الهائل على الطرق التقليدية في التنبؤ ( العانى, احمد حسين ).

تستخدم هذه النماذج للسلسل الزمنية غير المستقرة حيث تعطى درجة تفريغ  $d$  أي  $w_t = \nabla^d z_t$  لتحويلها إلى سلسلة مستقرة (بري 2002).

ويمكن نمذجة المتسلسلة المستقرة  $w_t = \nabla^d z_t$  على شكل نموذج انحدار ذاتي - متوسط متحرك من الدرجة  $(p,q)$  كالتالي ( Brockleban, Dickey 2003 )

$$(\phi_p(B)w_t = \phi_p(B)\nabla^d z_t = \delta + \theta_q(B)a_t, \quad a_t \square WN(0, \sigma^2)$$

أو

$$) \phi_p(B)(1-B)^d z_t = \delta + \theta_q(B)a_t, \quad a_t \square WN(0, \sigma^2)$$

وهذا النموذج يسمى نموذج الانحدار الذاتي-التكاملـيـالمتوسط المتحرك من الدرجة  $(p,d,q)$  حيث  $(-\infty, \infty) \in \delta$  ثابت النموذج.

### **3-8 مراحل تحليل السلسلة الزمنية:**

هناك أربع مراحل يمر بها تحليل السلسلة الزمنية و هي التشخيص ثم التقدير ثم الفحص ثم التنبؤ و كما موضحة بالمخطط الإنسيابي شكل رقم (1-).

#### **Model Identification : 1-8-3 تشخيص النموذج :**

تعد مرحلة التشخيص المرحلة الأولى لتحليل السلسلة الزمنية. وتشمل معرفة نوع النموذج وتحديد الرتبة للنموذج المحدد من خلال المعايير التي تستخدم للمقارنة بين النماذج لتحديد النموذج الأفضل .

مرحلة التشخيص تتضمن الخطوات الآتية:

**1-8-3 رسم بيانات السلسلة:** وبعد رسم البيانات الخطوة الأولى في تحليل أية سلسلة زمنية ومن خلال الرسم تكون لدينا فكرة جيدة عن إحتواء السلسلة على موسمية أو إتجاه عام أو قيم شاذة أو عدم الإستقرارية الذي يقود إلى التحويلات الممكنة على البيانات ، لذلك فإن رسم السلسلة يبين حاجتها إلى التحويل المناسب لتنстقر في متوسطها أو تبايناتها إذا لم تكن مستقرة قبل أي تحليل.

**1-8-3 حساب وفحص ACF,PACF للعينة المسحوبة من السلسلة الأصلية لتحديد درجة الفروق (في حالة عدم الاستقرارية) ، فإذا كانت ACF للعينة تحدّر ببطء شديد ، PACF للعينة تقطع بعد الإزاحة الأولى (أو بالعكس) فإن هذا يستوجبأخذ الفرق الأول  $Z_t^{(1-B)}$  . وللتخلص من عدم الإستقرارية نحتاج إلىأخذ أعلى رتبة من الفروق  $Z_t^{(d)}$  حيث  $d > 0$  (وغالباً ما تكون  $d=0,1,2$ ) وإن النتائج المترتبة على استخدام الفروق غير الضروري تكون أقل خطورة من النتائج المترتبة على التقليل من أهمية الفروق.**

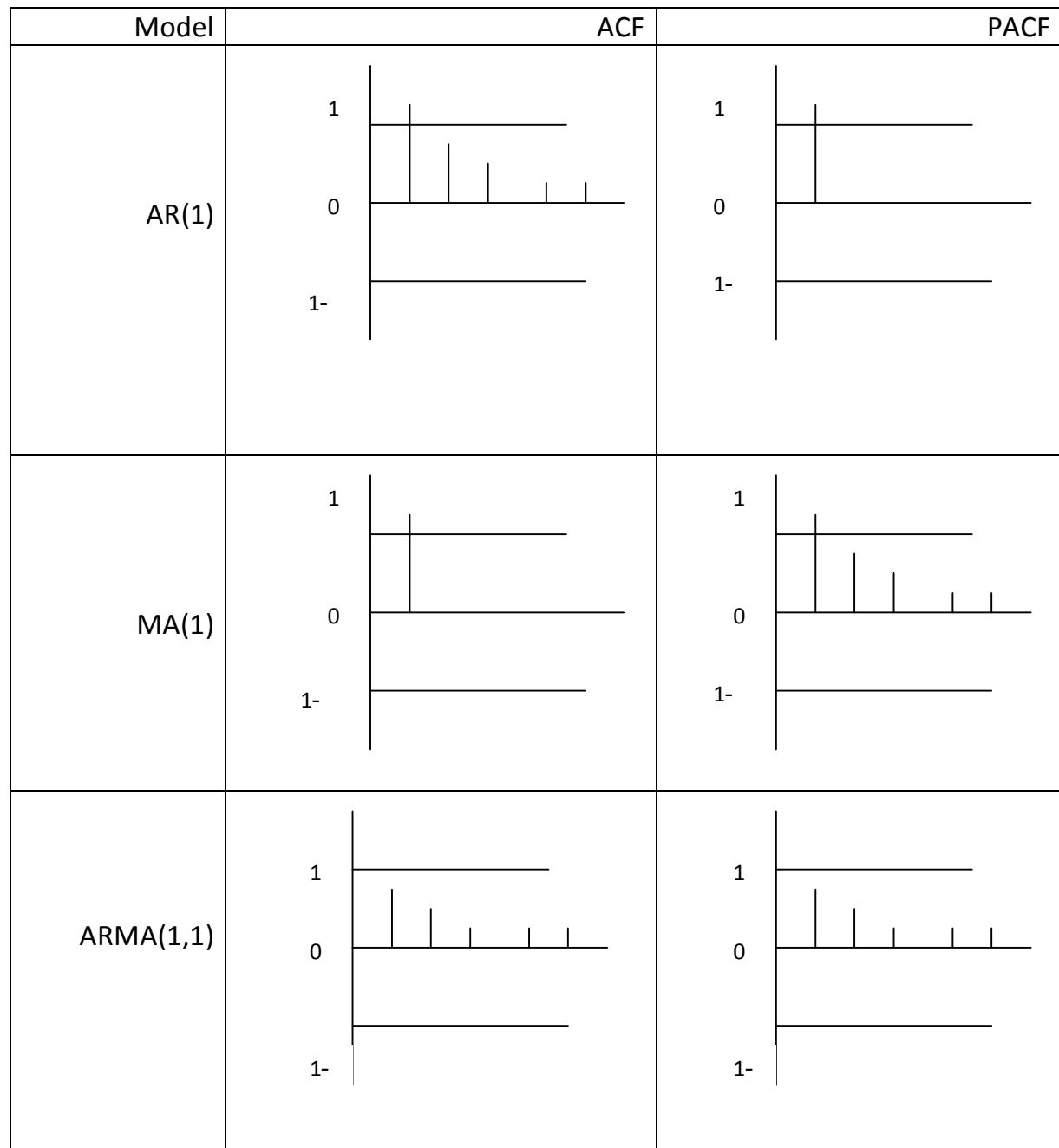
نحسب ونفحص ACF, PACF للعينة لتشخيص النموذج، وتوجد ثنائية ما بين نماذج ARMA(1,0) أو AR(1) ونماذج MA(1) وفقاً للدالتين. وتزداد المشكلة تعقيداً في حالة النماذج المختلطة ARMA(p,q) ، لأن الاعتماد على PACF , ACF لتشخيص النموذج تحديد رتبته لا يكون فاعلاً ، كون الدوال أعلى في هذه الحالة تسلك سلوكاً متشابهاً هو سلوك التناقض التدريجي.

و الجدول الآتي يبين هذه الخواص.

جدول رقم (2-2) يوضح خواص النماذج حسب الإرتباط الذاتي و الإرتباط الذاتي الجزئي:

الرقم	النموذج	ACF	PACF
1	AR(p)	قترب من الصفر تدريجياً	يساوي الصفر بعد الإزاحة p
2	MA(q)	يساوي الصفر بعد الإزاحة q	قترب من الصفر تدريجياً
3	ARMA(p,q)	قترب من الصفر تدريجياً	قترب من الصفر تدريجياً
4	AR(1)	قترب من الصفر تدريجياً	يساوي الصفر بعد الإزاحة 1
5	MA(1)	يساوي الصفر بعد الإزاحة 1	قترب من الصفر تدريجياً
6	AR(2)	قترب من الصفر تدريجياً	يساوي الصفر بعد الإزاحة 2
7	MA(2)	يساوي صفر بعد الإزاحة 2	قترب من الصفر تدريجياً

جدول رقم (3-2) يوضح بعض الاشكال التي من خلالها يمكن تشخيص النموذج



## معايير اختيار الرتبة :

و هنالك معايير تستخدم للمقارنة بين النماذج لتحديد رتبة النموذج من هذه المعايير:

: Akaike's Information Criterion ١- معيار أكايكي للمعلومات

ويرمز له اختصاراً بـ AIC و يحسب من الصيغة الآتية :

حیث:

SSR : مجموع مربعات البوادي

n : حجم العينة

$$k = p + d + q$$

و النموذج الأفضل بين النماذج المقارنة هو الذي له أقل قيمة لـ AIC .

## 2- معيار شوارتز Schwartz Bayesian Criterion

ويرمز له اختصاراً بـ SBC و يحسب من الصيغة الآتية:

حیث:

SSR : مجموع مربعات البوادي

$$k = p + d + q$$

و النموذج الأفضل بين النماذج المقارنة هو الذي له أقل قيمة لـ  $SBC$

### 3-8-2 تقدير النموذج: The Model Estimation

بعد تحديد شكل النموذج لابد من تقدير معلمات النموذج و  $\sigma^2$  وذلك بإستخدام البيانات التاريخية المتوفرة لدينا. هنالك طرق كثيرة لتقدير المعلمات سنذكر منها طريقة العزوم.

#### طريقة العزوم : The Method of Moments

تعتمد هذه الطريقة على مساواة عزوم العينة مثل متوسط العينة  $\bar{z}$  والإرتباطات الذاتية للعينة  $r_k$  بالعزوم النظري مثل المتوسط  $\mu$  ودالة الإرتباط الذاتي  $\rho$  وحل المعادلات الناتجة بالنسبة للمعلمات المراد تقديرها.

سوف نستعرض الطريقة للنموذج  $AR(p)$  كالتالي:

1- يقدر المتوسط  $\mu$  بالمقدار  $\bar{z} = \sum_{i=1}^n z_i / n$  أي

2- لتقدير  $\phi_1, \dots, \phi_p$  نستخدم العلاقة:

$$\rho_k = \phi_1 \rho_{k-1} + \phi_2 \rho_{k-2} + \dots + \phi_p \rho_{k-p}, \quad k > 1$$

والتي تنتج من ضرب المعادلة المعرفة لنموذج  $AR(p)$  بالحد  $\mu - z_{t-k}$  وأخذ التوقع. في

المعادلة السابقة بوضع  $k = 1, 2, \dots, p$  نحصل على نظام المعادلات المسمى معادلات يول و

ووكر Yule-Walker التالي:

$$\rho_1 = \phi_1 + \phi_2 \rho_1 + \dots + \phi_p \rho_{p-1}$$

و بالتعويض عن  $\rho_k$  بالمقدار  $r_k$  نحصل على مقدرات العزوم للمعلمات  $\hat{\phi}_1, \dots, \hat{\phi}_p$  كالتالي:

بوضع معادلات يول و ووكر على الشكل المصفوفي:

$$\begin{pmatrix} r_1 \\ r_2 \\ \vdots \\ r_p \end{pmatrix} = \begin{pmatrix} 1 & r_1 & r_2 & \cdots & r_{p-2} & r_{p-1} \\ r_1 & 1 & r_1 & \cdots & r_{p-3} & r_{p-2} \\ \vdots & \vdots & \vdots & \ddots & \vdots & \vdots \\ r_{p-1} & r_{p-2} & r_{p-3} & \cdots & r_1 & 1 \end{pmatrix} \begin{pmatrix} \hat{\phi}_1 \\ \hat{\phi}_2 \\ \vdots \\ \hat{\phi}_p \end{pmatrix} \quad \dots \dots \dots \quad (59-2)$$

وبحل هذه المعادلة للمعلمات

$$\begin{pmatrix} \hat{\phi}_1 \\ \hat{\phi}_2 \\ \vdots \\ \hat{\phi}_p \end{pmatrix} = \begin{pmatrix} 1 & r_1 & r_2 & \cdots & r_{p-2} & r_{p-1} \\ r_1 & 1 & r_1 & \cdots & r_{p-3} & r_{p-2} \\ \vdots & \vdots & \vdots & \ddots & \vdots & \vdots \\ r_{p-1} & r_{p-2} & r_{p-3} & \cdots & r_1 & 1 \end{pmatrix}^{-1} \begin{pmatrix} r_1 \\ r_2 \\ \vdots \\ r_p \end{pmatrix} \quad \dots \dots \dots \quad (60-2)$$

تقدر كالتالي

$$\hat{\sigma}^2 = \hat{\gamma}_0 \left( 1 - \hat{\phi}_1 r_1 - \hat{\phi}_2 r_2 - \cdots - \hat{\phi}_p r_p \right)$$

حيث

$$\hat{\gamma}_0 = \frac{1}{n} \sum_{t=1}^n (z_t - \bar{z})^2$$

هو تبادل العينة.

## تقدير العزوم لنموذج AR(1)

$$z_t - \mu = \phi_1(z_{t-1} - \mu) + a_t, a_t \sim N(0, \sigma^2)$$

مقدار العزوم للمعلمة φ هو

مقدار العزوم للمعلمة  $\mu$  هو

$$\hat{\mu} = \overline{z} \dots \dots \dots (6\ 2\ -2)$$

مقدار العزوم للمعلمة<sup>٢</sup> هو

$$\hat{\sigma}^2 = \hat{\gamma}_0 \left(1 - \hat{\phi}_l r_l\right) \quad \dots \dots \dots \quad (63-2)$$

جواب

$$\hat{\gamma}_0 = \frac{1}{n} \sum_{t=1}^n (z_t - \bar{z})^2$$

## 6-2- فحص و اختبار دقة النموذج : Model Diagnostics Checking

بعد التعرف على نموذج مبدئي وتقدير معلمات هذا النموذج نجري بعض التشخيصات على الباقي أو الأخطاء المقدرة لنرى مدى مطابقة النموذج للسلسلة المشاهدة ، ويفترض أن الباقي هي مقدرات التشویش الأبيض<sub>a</sub> والتي نفترض إنها موزعة طبيعياً بمتوسط صفر وتباین  $\sigma^2$ . الباقي تعطى بالعلاقة

$$e_t = z_t - \hat{z}_t = \hat{a}_t, \quad t = 1, 2, \dots, n$$

يقوم الفحص والإختبارات على فحص الباقي هل هي تشویش أبيض أم لا ، فإذا كانت تشویش أبيض تعتبر النموذج المطبق مقبولاً أما إذا لم تكن كذلك فيجب علينا إعادة النظر وإقتراح نموذج آخر .

ويمكن استخدام الإحصاءات الآتية لمعرفة ما إذا كان النموذج المقدر ملائم للبيانات أم لا ، وهي الإحصائية هي:

$$Q = \frac{(n-d)(n-d+2) \sum_{k=1}^m r^2(a_t^\wedge)}{(n-d-k) \dots \dots \dots (80-2)}$$

ونسمى الإحصائية  $Q$  بإحصائية Ljung-box وهي تتوزع توزيع مربع كاي بدرجة حرية  $(m-p-q)$

$$m = \frac{n}{4}$$

فإذا كانت قيمة  $Q$  أقل من قيمة  $\chi^2_{m, \alpha}$  حيث  $\alpha$  هي مستوى المعنوية فإن هذا يعني كفاءة و ملاءمة النموذج المقدر للبيانات .

### 1-3-8-3 اختبار المتوسط للبواقي:

$$H_0: E(a_t) = 0$$

$$H_1: E(a_t) \neq 0$$

وهو اختبار من طرفين ونستخدم الإحصائية  $\frac{e}{se(e)} = U$  والتي لها توزيع طبيعي قياسي

ف عند مستوى معنوية  $\alpha=0.05$  نعتبر ان  $|U| > 1.96$  إذا كانت  $E(a_t) = 0$  (هذا على اعتبار ان حجم العينة اكبر من 30 وحدة وهذا دائمًا متتحقق للمتسلسلات الزمنية التي ندرسها).

### 1-3-8-3 اختبار عشوائية البواقي:

نختبر عشوائية البواقي بواسطة اختبار الجري Runs test حول المتوسط و حول الصفر

وهو احد الاختبارات الامثلية.

### 1-3-8-3 اختبار الترابط أو استقلال البواقي:

يختبر ترابط أو استقلال البواقي بواسطة اختبار الترابط الذاتي Autocorrelation

وذلك بحساب ورسم الترابطات الذاتية للعينة SACP للبواقي ومقارنتها مع دالة الارتباط الذاتي التشويش الابيض.

$$H_0: r_1 = 0$$

$$H_1: r_1 \neq 0$$

حيث الإحصائية  $\frac{r_1}{se(r_1)} = U$  لها توزيع طبيعي قياسي فعند مستوى معنوية  $\alpha=0.05$  نعتبر ان

$$|U| < 1.96 \text{ إذا كانت } r_1 = 0$$

### 4-3-8-3 اختبار طبيعة الباقي:

نختبر في ما اذا كانت الباقي موزعة طبيعياً وذلك بعدة طرق مثل:

الاختبار الامامي كولموجروف- سميرنوف Kolmogorov-Smirnov Test

. Normal probability Plot مخطط الإحتمال الطبيعي

### 4-3-8-4 التنبؤ :

تعتبر مرحلة التنبؤ من أهم مراحل تحليل نماذج السلسل الزمنية ، و هي الهدف الأساسي لعملية تقدير النموذج ، إذ بعد أن يتم التعرف على النموذج في المرحلة الأولى و هي مرحلة التشخيص و من ثم تقدير معلمات النموذج في المرحلة الثانية و التحقق و فحص النموذج في المرحلة الثالثة ، تأتي المرحلة الرابعة و هي المرحلة الأهم و هي مرحلة التنبؤ حيث يتم معرفة سلوك الظاهرة المدروسة في المستقبل، و يتم عرض التنبؤ باستخدام طريقة مربع الخطأ الأدنى.

و عند التنبؤ بنماذج السلسل الزمنية فإن قيمة الخطأ  $q$  عند الزمن الذي يتم التنبؤ بقيمة الظاهرة عنده تعطى لها القيمة صفر.

## **الفصل الرابع**

### **الجانب التطبيقي**

#### **1-4 تمهيد:**

سوف يتم تطبيق جميع الاساليب التي تم التطرق اليها في الاطار النظري في الفصل الثالث للبحث وذلك بهدف بناء النموذج المطلوب والتأكد من الافتراض الخاصة به ثم إيجاد القيم التبؤية للطاقة الكهربائية من الشركة السودانية للتوليد الحراري .

#### **2-4 وصف البيانات:-**

**جدول رقم (4-1) يوضح وصف الطاقة الكهروحرارية**

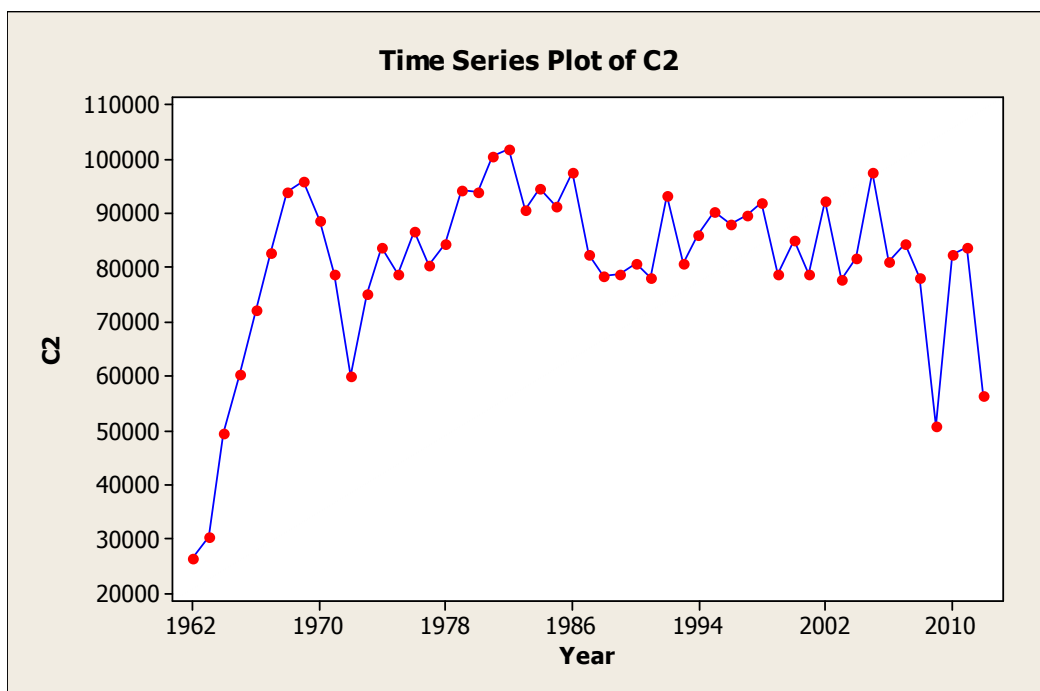
	<b>Mean</b>	<b>Std. error of Mean</b>	<b>Std. Deviation</b>	<b>Range</b>	<b>Maximum</b>	<b>Minimum</b>
الطاقة المنتجه	<b>80852</b>	<b>2204</b>	<b>15743</b>	<b>75460</b>	<b>101930</b>	<b>26470</b>

المصدر: إعداد الباحث بواسطة برنامج SPSS 2014 م

من الجدول رقم (4-1) بلغ متوسط التوليد الكهربائي في الفتره من 1962 – 2012 (80852) فيقاواط بإنحراف معياري (15743)، وقد بلغت اكبر قيمة للتوليد الحراري(101930) فيقاواط وكان ذلك في العام 1982 كما بلغت إقل قيمة(26470) وكان ذلك في العام 1962.

### 3-4 رسم السلسلة الزمنية:

الشكل رقم (4-1) يوضح الاتجاه العام لمتغير الدراسة



المصدر: إعداد الباحث بواسطة برنامج minitab 2014م

من الشكل رقم (4-1) نلاحظ ان السلسلة الزمنية للتوليد الكهربائي تمثل إتجah عام

يتذبذب مع مرور الزمن

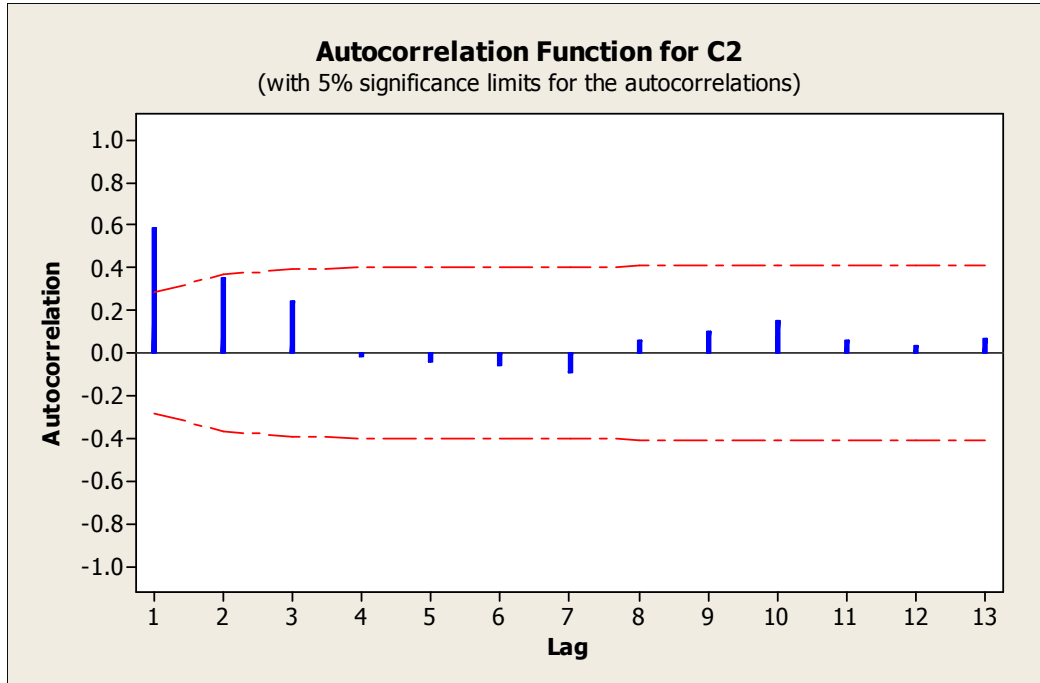
### 4-4 اختبار السكون:

يتم استخدام اختبار السكون عن طريقة الرسم للارتباط الذاتية

$H_0$ : بيانات الطاقة الكهربائية عشوائية(ساكنة او مستقرة)

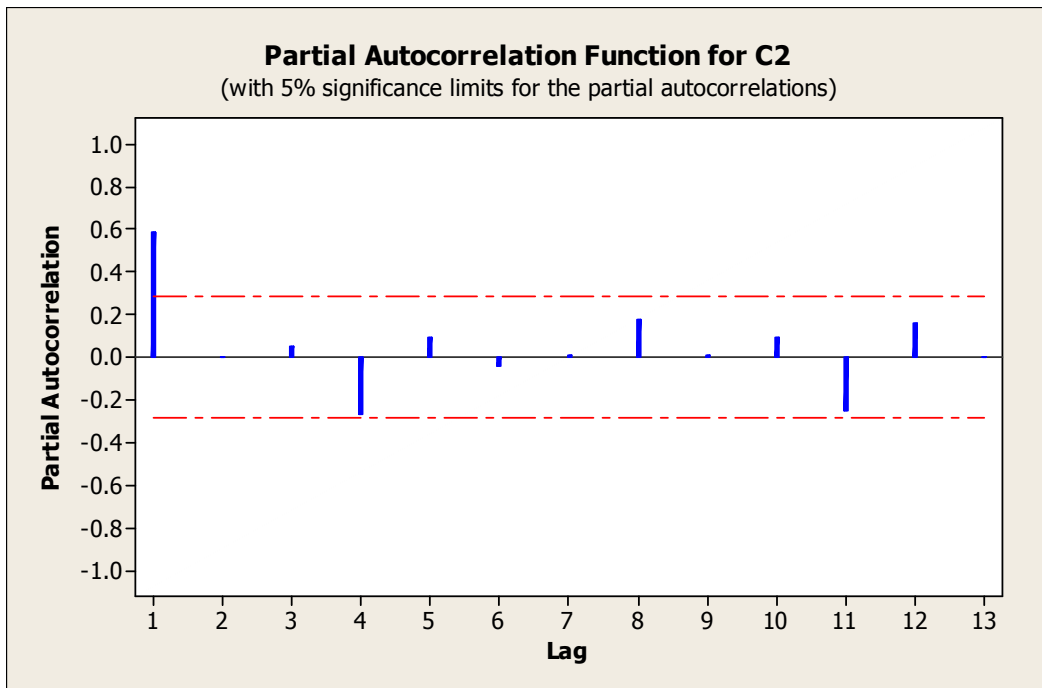
$H_1$ : بيانات الطاقة الكهربائيةغير عشوائية(غيرساكنة اوغير مستقرة)

شكل رقم(4-2) الـ ACF معاملات الارتباطات الذاتية



المصدر: إعداد الباحث بواسطة برنامج minitab 2014م

شكل رقم(4-3) الد PACF للسلسلة الزمنية



المصدر: إعداد الباحث بواسطة برنامج minitab 2014

الشكل رقم (4-2) نجد ان السلسلة الزمنية ساكنة لأن الارتباط الذاتي الاول فقط من قيم السلسلة يقع خارج حدود الثقة.

ومن خلال سلوك كل من ACF و PACF يتضح لنا النموذج الافضل لهذه البيانات هو

(3) AR وبعد معرفة نوع النموذج تم استخدام المعادلة رقم (2-57) الموضحة في الفصل الثاني لغرض اجراء تحديد الرتبة .

وتم تقدیر معلمات النموذج وفق طریقة المریعات الصغری وان النموذج بعد تقدیر المعلمات هو

$$Z_t = 0.8944 Z_{t-1}$$

جدول رقم(4-2) : يوضح معلمات النموذج

Estimates of Parameters

Model	B	SEB	T	P- value
AR3	0.8944	0.1289	6.94	0.000
Constant	197.3	191.0	1.03	0.307

4-إختبار فحص توفیق النموذج:

جدول رقم(4-3) : يوضح فحص توفیق النموذج

Ljung-Box

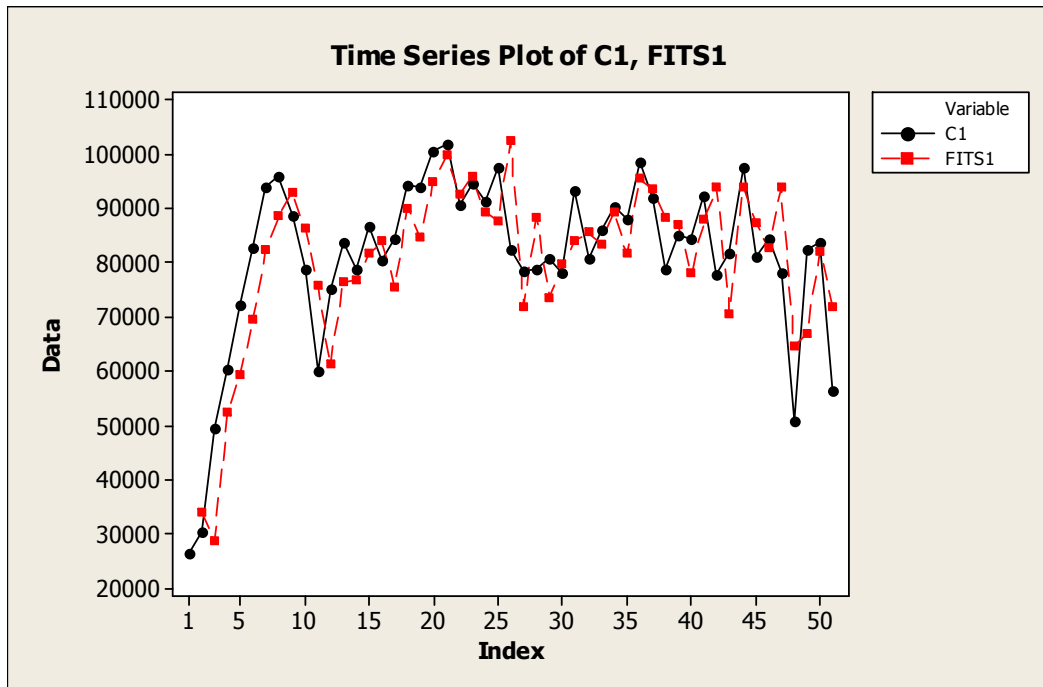
	Chi-Square	DF	P- value
Ljung-Box	13.5	17	0.705

المصدر: إعداد الباحث بواسطة برنامج Minitab 2014

بعد ذلك تم اجراء اختبار الفحص والتوفيق للنموذج اعلاه و وجد ان قيمة P-Value = 0.705 وهي اكبر من 0.05 عليه نقبل فرض العدم مما يجعل النموذج ملائم ويمكن الاعتماد عليه.

#### 4- فحص واختبار دقة النموذج : Model Diagnostics Checking

شكل رقم (4-4) للمقارنة بين القيم الحقيقية والقيم المقدرة



المصدر إعداد الباحث بواسطة برنامج MINITAB 2014

من الشكل أعلاه نلاحظ تقارب القيم المقدرة للقيم الحقيقة وهذا يعني ان النموذج كفؤ ويمكن الاعتماد عليه في التنبؤ.

#### ٤-٦-١: اختبار متوسط ال بواسطى:

##### One-Sample Z: RESI1

Test of mu = 0 vs not = 0

The assumed standard deviation = 15743

Variable	N	Mean	StDev	SE Mean	95% CI	Z	P
RESI1	50	1384	9254	2226	(-2980, 5748)	0.62	0.534

المصدر: إعداد الباحث بواسطة برنامج Minitab 2014

بما ان القيمة الاحتمالية (P-Value) تساوى (0.543) وهي قيمة اكبر من مستوى المعنوية (0.05) عليه نقبل فرض العدم اي ان المتوسط يساوي الصفر.

#### 4-6-2 اختبار عشوائية الباقي:

##### Runs Test: RESI1

Runs test for RESI1

Runs above and below K = 1383.91

The observed number of runs = 27

The expected number of runs = 25

30 observations above K, 20 below

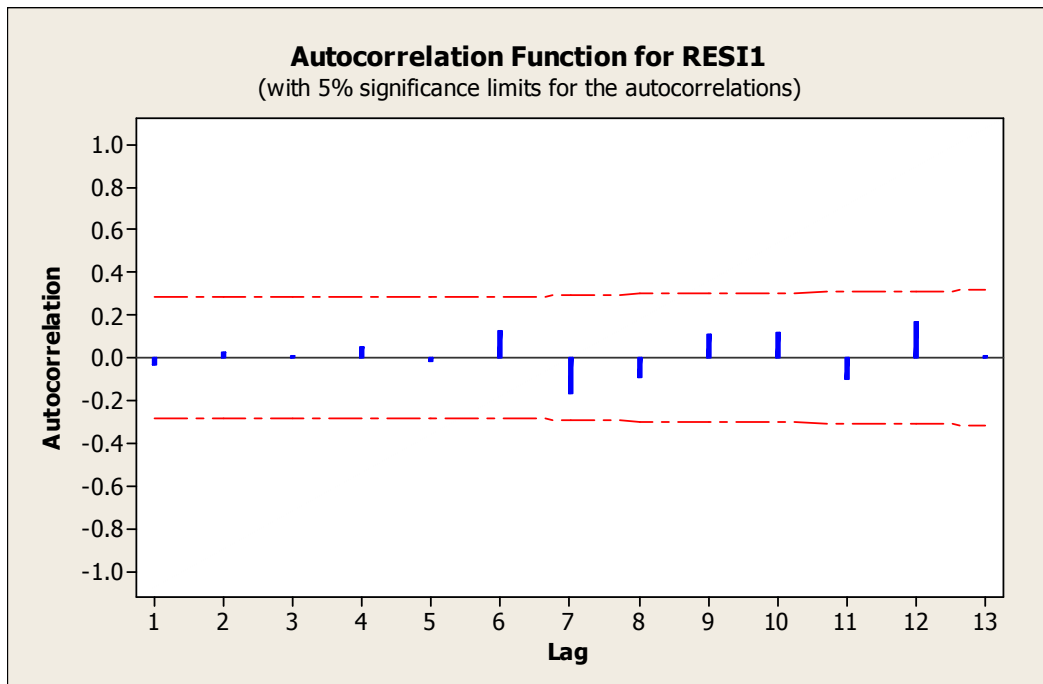
P-value = 0.551

بما ان القيمة الاحتمالية (P-Value) تساوي (0.551) وهي قيمة اكبر من مستوى المعنوية

(0.05) عليه نقبل فرض عدم اي ان الباقي عشوائية.

#### 4-6-3 الارتباط الذاتي للباقي:

##### شكل رقم(4-5) الـ ACF للباقي



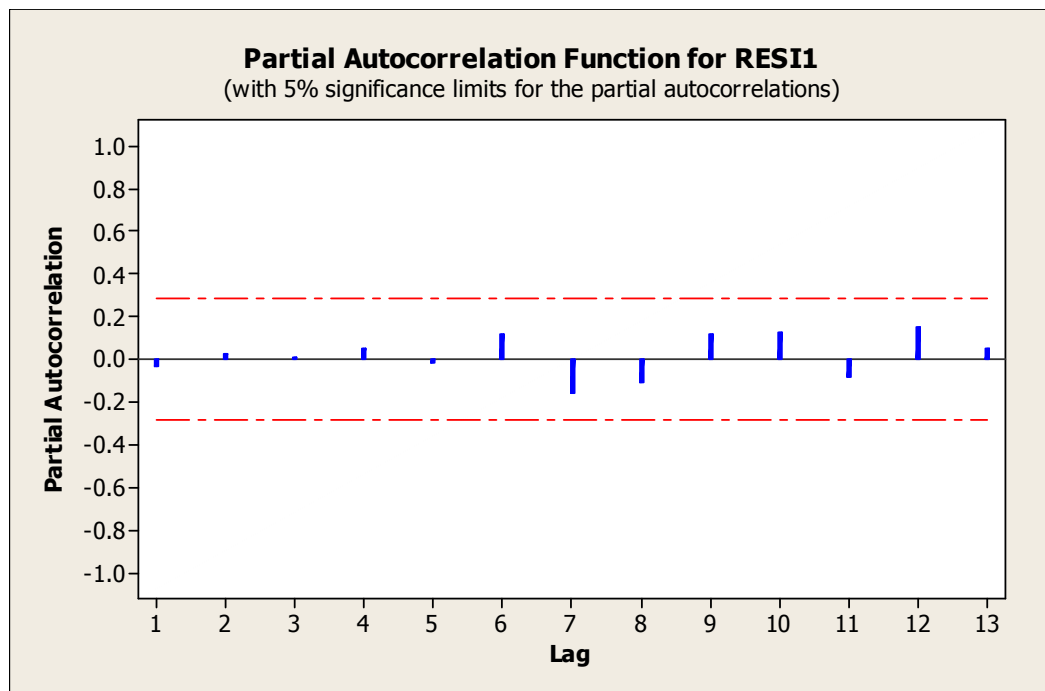
المصدر: إعداد الباحث بواسطة برنامج Minitab 2014 م

### Autocorrelation Function:

Lag	ACF	T	LBQ
1	-0.033429	-0.24	0.06
2	0.024083	0.17	0.09
3	0.005785	0.04	0.09
4	0.046548	0.33	0.22
5	-0.019862	-0.14	0.24
6	0.121192	0.85	1.11
7	-0.167538	-1.16	2.80
8	-0.091407	-0.62	3.32
9	0.111391	0.75	4.11
10	0.116533	0.77	4.99
11	-0.097986	-0.64	5.63
12	0.166415	1.08	7.52
13	0.006121	0.04	7.53

- الارتباط الذاتي الجزئي للبواقي:

شكل رقم(6-4) الـ PACF للبواقي



المصدر: إعداد الباحث بواسطة برنامج Minitab 2014م

### Partial Autocorrelation Function:RESI1

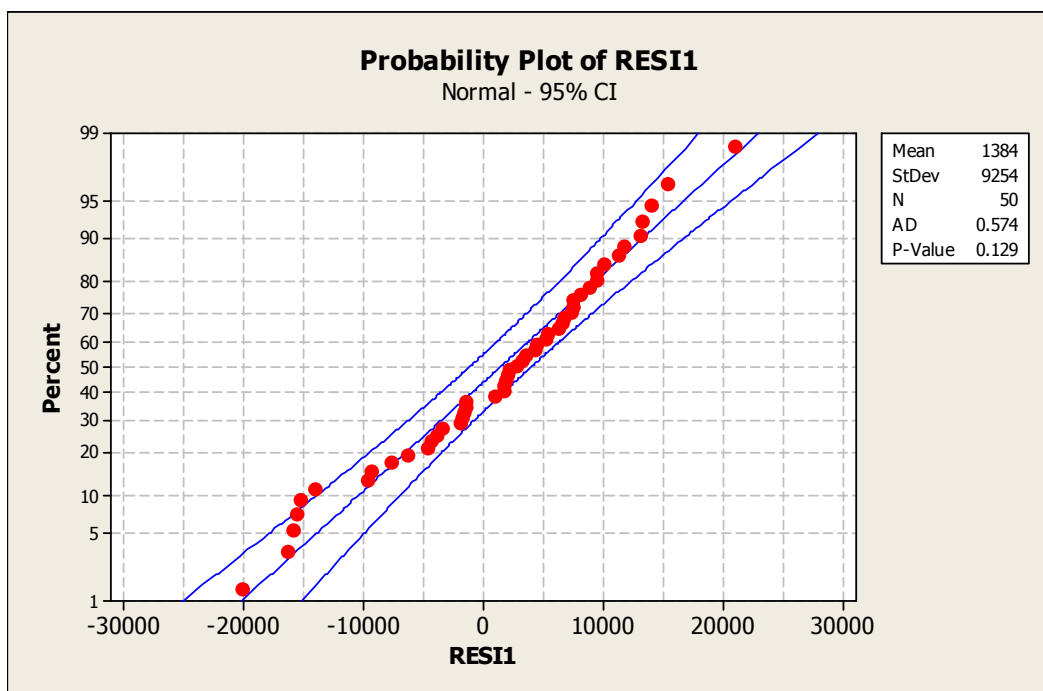
Lag	PACF	T
1	-0.033429	-0.24
2	0.022991	0.16
3	0.007352	0.05
4	0.046503	0.33
5	-0.017171	-0.12
6	0.118268	0.84
7	-0.162826	-1.15
8	-0.109775	-0.78
9	0.119237	0.84
10	0.127230	0.90
11	-0.086888	-0.61
12	0.152574	1.08
13	0.049655	0.35

من الشكل رقم (4-4) والشكل رقم (4-5) نلاحظ ان نمط الارتباط الذاتي والارتباط الذاتي الجزئي يتبعان نمط خطأ التقدير.

#### 4-6-4 اختبار طبيعة الباقي:

أ/ رسم الاحتمالي الطبيعي: **Normal Probability Plot**

الشكل رقم (7-4) يوضح الاحتمال الطبيعي للباقي



المصدر : إعداد الباحث بواسطة برنامج Minitab 2014

من الشكل رقم (7-4) نلاحظ ان الباقي توزع طبيعياً

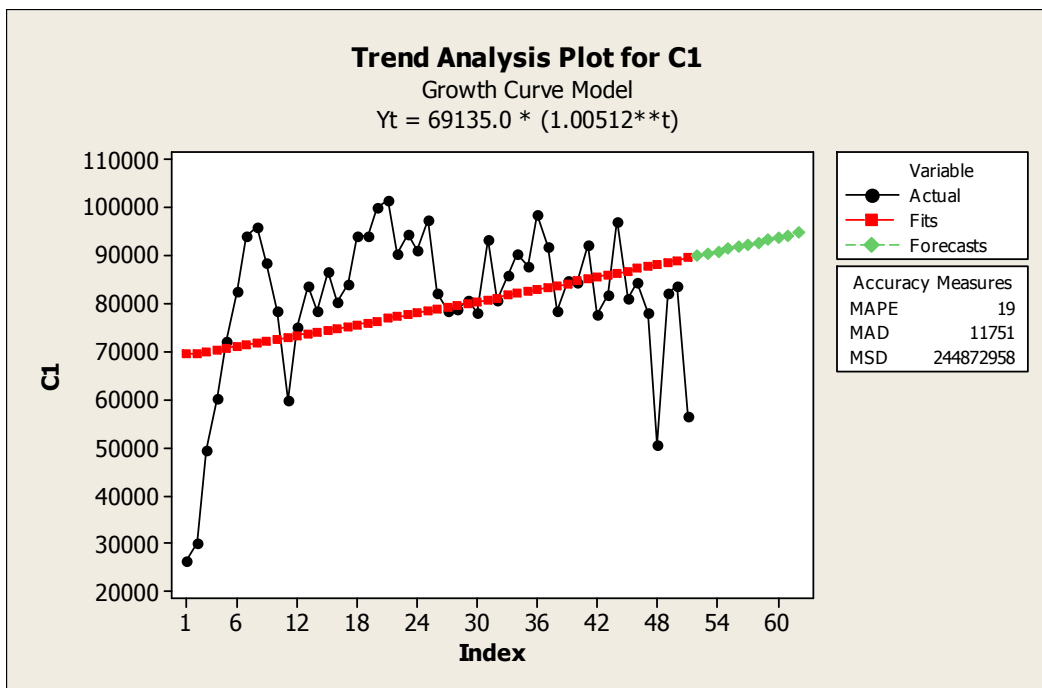
**4-7 التنبؤ للطاقة الكهربائية المنتجة بالفيقاواط للعقد القادم:**

**جدول رقم (4-4) يوضح التنبؤات المستقبلية للطاقة الكهربائية**

السنوات	القيم المتنبأ بها
2013	77693
2014	67579
2015	68286
2016	84233
2017	66952
2018	81450
2019	83397
2020	70963
2021	91409
2022	78901
2023	80256
2024	94652

**المصدر: إعداد الباحث بواسطة برنامج minitab 2014م**

شكل رقم (4-8) يوضح التنبؤات المستقبلية للطاقة الكهربائية



المصدر : إعداد الباحث بواسطة برنامج Minitab 2014م

من الشكل أعلاه نلاحظ أن السلسلة تتذبذب مع مرور الزمن.

## **الفصل الخامس**

### **الإسستجات و التوصيات**

أن الإسستجات و التوصيات التي تم الوصول إليها من خلال البحث هي :

#### **5-1 الإسستجات:**

أهم الإسستجات التي توصل إليها البحث ما يلي :-

1. ان إستخدام تحليل السلسل الزمنية مناسب ومفيد في دراسة توليد الطاقة الكهربائيه من خزان سنار.
2. السلسلة الزمنية لبيانات الطاقة الكهربائيه المولده من خزان سنار هى سلسة مستقرة.
3. النموذج الإحصائي لسلسلة توليد الطاقة الكهربائيه هو نموذج الإنحدار الذاتي (AR(3)).
4. النموذج الذي تم التوصل إليه نموذج كفوه ويمكن الإعتماد عليه.
5. يمكن إستخدام النموذج الذي توصل إليه البحث لمعرفة إتجاهات السلسلة لاستخدامها من قبل الجهات التخطيطية والتنفيذية لتحليل ودراسة الظاهرة.
6. البيانات تزيد مع مرور الزمن.

## 5-2 التوصيات:

- 1- يمكن استخدام النموذج الذي توصل إليه الباحث من قبل الجهة المستفيدة (محطة توليد الكهرباء خزان سنار) لمعرفة الإتجاهات المستقبلية للظاهرة ووضع الخطط الازمها لها والاستفادة منها في انتاج الكهرباء وتنمية البلاد.
- 2- القيام بدراسات وبحوث تأخذ بعين الاعتبار تكلفة الطاقة المولدة بالماء وكمية الطاقة المولدة لمعرفة الزيادة النسبية الحقيقة في الطاقة الكهربائية لأن بحثنا هذا أخذ واقع حال التوليد المائي دون النظر إلى تكلفة إنتاج الطاقة المولدة بالحرارة أو البخار.
- 3- استخدام تحليل السلسلة الزمنية لمتعدد المتغيرات وذلك من خلال أخذ السلسلة لعدة متغيرات مثل تكلفة الإنتاج و سعر إنتاج الوحدة و هذا من شأنه أن يجعل التنبؤات أكثر دقة.

### ٥-٣ المراجع :

#### اولاً : المراجع العربية:-

- [1] سليمان، اسامة ربيع \_ التحليل الإحصائي للبيانات بإستخدام برنامج Minitab \_ قسم الإحصاء والرياضية والتامين\_كلية التجارة(السادات) \_ جامعة المنوفية.
- [2] الزوبي عبيد محمود (2008-2009) (( محاضرات السلسل الزمنية برنامج ماجستير إحصاء )) جامعة السودان للعلوم والتكنوجيا.
- [3] الهيئة القومية للكهرباء كتيب تعريفي الماضي والحاضر 2008.
- [4] ابراهيم، بسام يونس ، يونس، عادل موسى ، أمين حاجي أنمار (2002) \_ الاقتصاد القياسي \_ دار عزة للنشر والتوزيع \_ الخرطوم\_السودان.
- [5] ابراهيم، بسام يونس ، يونس ، عادل موسى (2005) مبادئ إحصاء \_ قسم الإحصاء التطبيقي\_ كلية العلوم\_ جامعة السودان للعلوم والتكنولوجيا .
- [6] ماجد ، عدنان عبد الرحمن (2002)، طرق التنبؤ الإحصائي ، الجزء الأول، جامعة الملك سعود \_ كلية العلوم \_ قسم الإحصاء وبحوث العمليات.

#### ثانياً : المراجع الأجنبية:-

Anderson (1971) The Statistical Analysis Of Time Series-

## خزان سنار



الإنشاء خزان سنار 1922م



53 The Sennar Dam under construction c. 1922. The project employed a combination of the newest technology and, in its use of labour, what a critic called 'Pharaonic methods'. PAPER COLLECTION. PHOTOGRAPHER UNKNOWN

alrakoba.net

**محطة توليد الكهرباء خزان سنار**

